

RANCANG BANGUN PANEL GEOLISTRIK *MULTICHANNEL SWITCH* (WING ELECTRODE 48) PENGEMBANGAN ALAT GEOLISTRIK MODEL *TWIN PROBE G-SOUND GL 4200* DI LABORATORIUM FISIKA UNIVERSITAS ISLAM NEGERI ALAUDDIN MAKASSAR



Diajukan untuk Memenuhi Salah Satu Syarat Meraih Gelar Sarjana
Jurusan Fisika pada Fakultas Sains dan Teknologi
UNIVERSITAS ISLAM NEGERI
UIN Alauddin Makassar

ALAUDDIN
Oleh:
MUH. WAQIATUL HASAN
NIM: 60400117039

**FAKULTAS SAINS DAN TEKNOLOGI
UIN ALAUDDIN MAKASSAR
2022**

PERSETUJUAN PEMBIMBING

Kepada

Yth. Ketua Jurusan Fisika
Fakultas Sains dan Teknologi
UIN Alauddin Makassar

Assalamualaikum wr. Wb.

Setelah membaca, meneliti, memberikan petunjuk dan mengoreksi serta mengadakan perbaikan seperlunya, maka kami selaku pembimbing berpendapat bahwa skripsi saudara:

Nama	:	Muh. Waqiatul Hasan
NIM	:	60400117039
Judul Skripsi	:	Rancang Bangun Panel Geolistrik <i>Multichannel Switch (Wing Electrode 48)</i> (Pengembangan Alat Geolistrik Model <i>Twin-Probe (G-Sound)</i> GL 4200) di Laboratorium Fisika Universitas Islam Negeri Alauddin Makassar

sudah dapat diajukan kepada Jurusan Fisika Fakultas Sains dan Teknologi untuk ujian munaqasyah. Atas perhatiannya, kami ucapan terima kasih.

Dosen Pembimbing I

Muh. Said L, S.Si., M.Pd
NIP.19830904 200912 1005

Samata, Maret 2022

Dosen Pembimbing II

Ayusari Wahyuni, S.Si., M.Sc
NIDN. 2020098201

PERNYATAAN KEASLIAN SKRIPSI

Mahasiswa yang bertanda tangan dibawah ini:

Nama : Muh. Waqiatul Hasan
NIM : 60400117039
Tempat/Tgl. Lahir : Bulukumba, 28 Agustus 1999
Jurusan : Fisika
Fakultas : Sains dan Teknologi
Alamat : Perum. R2000, Blok Hijau, No.38 Tamanyeleng, Kec. Barombong, Kab. Gowa, Sulawesi Selatan
Judul Skripsi : Rancang Bangun Panel Geolistrik *Multichannel Switch (Wing Electrode 48)* Pengembangan Alat Geolistrik Model *Twin-Probe G-Sound GL 4200* di Laboratorium Fisika Universitas Islam Negeri Alauddin Makassar

Menyatakan dengan sesungguhnya dan penuh kesadaran bahwa skripsi ini benar adalah hasil karya sendiri. Jika kemudian terbukti di kemudian hari terbukti bahwa ia merupakan duplikat, tiruan, plagiat, atau dibuat orang lain, sebagian atau seluruhnya, maka skripsi ini dan gelar yang diperolehnya batal demi hukum.

**UNIVERSITAS ISLAM NEGERI
ALAUDDIN MAKASSAR**

Samata, Maret 2022
Penyusun,

Muh. Waqiatul Hasan
NIM: 60400117039

PENGESAHAN SKRIPSI

Skripsi yang berjudul, “**Rancang Bangun Panel Geolistrik Multichannel Switch Wing Electrode 48 Pengembangan Alat Geolistrik Model Twin-Probe G-Sound GL 4200 di Laboratorium Fisika Universitas Islam Negeri Alauddin Makassar**”, yang disusun oleh Muh. Waqiatul Hasan, NIM: 60400117039, mahasiswa Jurusan Fisika pada Fakultas Sains dan Teknologi UIN Alauddin Makassar, telah diuji dan dipertahankan dalam sidang munaqasyah yang diselenggarakan pada hari Selasa, 22 Maret 2022, bertepatan dengan 19 Sya’ban 1443, dinyatakan telah dapat diterima sebagai salah satu syarat untuk memperoleh gelar sarjana dalam Ilmu Sains dan Teknologi, Jurusan Fisika (dengan beberapa perbaikan).*

Makassar, 22 Maret 2022 M
19 Sya’ban 1443 H

DEWAN PENGUJI :

Ketua : Prof. Dr. Muh. Halifah Mustami, M. Pd (.....)

Sekertaris : Hernawati, S.Pd.,M.Pfis (.....)

Munaqisy I : Ihsan, S.Pd., M.Si (.....)

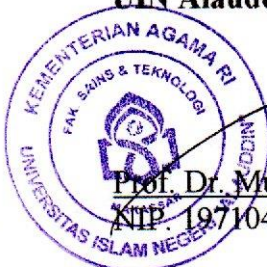
Munaqisy II : Baso Pallawagau, Lc., MA (.....)

Pembimbing I : Muh. Said L, S.Pd., M.Pd (.....)

Pembimbing II: Ayusari Wahyuni, S.Si.,M.Sc (.....)

Diketahui Oleh:

**Dekan Fakultas Sains dan Teknologi
UIN Alauddin Makassar**



Prof. Dr. Muh. Halifah Mustami, M. Pd
KTP. 19710412 200003 1 001

SURAT KETERANGAN TURNITIN



KEMENTERIAN AGAMA
UNIVERSITAS ISLAM NEGERI ALAUDDIN MAKASSAR
FAKULTAS SAINS DAN TEKNOLOGI
JURUSAN FISIKA

Kampus II : Jl. H.M. Yasin Limpo No.36, Romangpolong-Gowa Telp. 1500363 (0411) 841879

SURAT KETERANGAN TURNITIN

Tim Instruktur Deteksi Plagiat Turnitin telah menerima naskah Final Skripsi dengan identitas:

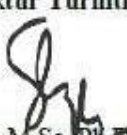
Nama : Muh. Waqiatul Hasan
NIM : 60400117039
Judul : RANCANG BANGUN PANEL GEOLISTRIK MULTICHANNEL SWITCH (WING ELECTRODE 48) (PENGEMBANGAN ALAT GEOLISTRIK MODEL TWIN PROBE (G-SOUND) GL 4200) DI LABORATORIUM FISIKA UNIVERSITAS ISLAM NEGERI ALAUDDIN MAKASSAR
Pembimbing I : Muh. Said L, S.Si., M.Pd
Pembimbing II: Ayusari Wahyuni, S.Si., M.Sc

Menyatakan bahwa naskah Final skripsi tersebut telah diperiksa tingkat kemiripannya dengan skor/hasil 10% Sesuai dengan pedoman yang berlaku, maka Final Skripsi ini dinyatakan Layak untuk dilanjutkan ke proses berikutnya.

Makassar, 15/03/2022

Mengetahui:

TIM Instruktur Turnitin GPM,


Sahara, S.Si., M.Sc., Ph.D
NIP. 198109272006042003

Catatan:

- | | |
|---------|--|
| 1-24% | : Tidak Terindikasi Plagiasi |
| 25-49% | : Revisi Minor, Silahkan Konsultasikan dengan Pembimbing |
| 50-100% | : Revisi Mayor, Silahkan Konsultasikan dengan Pembimbing |

KATA PENGANTAR

بِسْمِ اللَّهِ الرَّحْمَنِ الرَّحِيمِ

Puji syukur penulis panjatkan hadirat Allah Subhanahu wataala' yang maha pengasih lagi maha penyayang yang telah melimpahkan rahmat, hidayah, dan inayah-Nya, serta senantiasa memberikan kemudahan dan pertolongan kepada hambanya sehingga skripsi yang berjudul "**Rancang Bangun Panel Geolistrik Multichannel Switch (Wing Electrode 48) Pengembangan Alat Geolistrik Model Twin-Probe G-Sound GL 4200 di Laboratorium Fisika Universitas Islam Negeri Alauddin Makassar**" dapat diselesaikan dengan baik. Skripsi ini disusun sebagai salah satu syarat untuk meraih gelar sarjana program S-1 Jurusan Fisika, Fakultas Sains dan Teknologi, Universitas Islam Negeri (UIN) Alauddin Makassar.

Penulis mempersembahkan skripsi ini kepada kedua orang tua yaitu Ayahanda **H. Hasanuddin** dan Ibunda **Hj. Hajra**, serta **Keluarga Besar** yang tidak pernah berhenti memberikan motivasi dan selalu memberikan dorongan kepada penulis agar selalu semangat dan tidak mudah menyerah, serta selalu meluangkan waktu, tenaga dan pikiran untuk berbagi keresahan dikala mengalami masalah dalam proses penyelesaian tugas akhir ini. Oleh karena itu, penulis mengucapkan rasa terima kasih yang tidak terhingga kepada kedua orang tua atas segala pencapaian yang telah diraih selama masa studi sebagai salah satu wujud do'a yang tiada henti dikirimkan setiap waktu.

Penulis juga mengucapkan rasa hormat dan banyak terima kasih kepada Bapak **Muh. Said L., S.Si., M.Pd.**, Selaku pembimbing I sekaligus Sekertaris Jurusan Fisika Fakultas Sains dan Teknologi dan juga sebagai pembimbing akademik dan Ibu **Ayusari Wahyuni, S.Si., M.Sc.**, selaku pembimbing II yang selalu meluangkan waktu, tenaga dan pikiran untuk membimbing dan selalu memberikan motivasi setulus hati agar penulis terus semangat dalam proses penyelesaian skripsi ini.

Penulis menyadari dengan baik bahwa pada penyusunan skripsi ini tidak lepas dari berbagai macam hambatan, namun dengan pertolongan Allah Swt. semuanya dapat terselesaikan dengan baik. Selain itu, berbagai pihak juga turut andil dalam semua proses yang dilalui penulis dalam menyusun skripsi ini baik dalam bentuk motivasi, fasilitas serta do'a yang tiada henti. Oleh karena itu, penulis juga mengucapkan banyak terima kasih kepada:

1. Bapak **Prof. Hamdan Juhannis, M.A., Ph.D.**, selaku Rektor Universitas Islam Negeri (UIN) Alauddin Makassar periode 2019-2023.
2. Bapak **Prof. Dr. Muhammad Halifah Mustami, M.Pd.**, selaku Dekan Fakultas Sains dan Teknologi Universitas Islam negeri (UIN) Alauddin Makassar.
3. Bapak **Ihsan, S.Pd., M.Si.**, selaku Ketua Jurusan Fisika Fakultas Sains dan Teknologi yang telah membantu penulis selama masa studi.
4. Bapak **Ihsan, S.Pd., M.Si.**, dan Bapak **Baso Pallawagau, Lc., MA.**, selaku penguji I dan II yang senantiasa memberikan saran dan masukan selama proses penyelesaian skripsi ini.

5. Seluruh Bapak/Ibu **Dosen-Dosen** dan **Laboran** Jurusan Fisika Fakultas Sains dan Teknologi Universitas Islam Negeri (UIN) Alauddin Makassar.
6. Seluruh pegawai **Staf Akademik** Fakultas Sains dan Teknologi Universitas Islam Negeri (UIN) Alauddin Makassar yang telah membantu dalam proses perizinan dan persuratan penelitian hingga skripsi selesai.
7. Ibu **Hadiningsih, S.E**, selaku Staf Akademik Jurusan Fisika Fakultas Sains dan Teknologi Universitas Islam Negeri (UIN) Alauddin Makassar yang telah membantu dalam proses perizinan dan persuratan penelitian hingga skripsi selesai.
8. Teman-teman **PKL GEORESEARCH** (M. Fajri Suryadana J, S.Si., Muh. Rusdin, S.Si., Musriadi, S.Si., dan Muh. Adrian, S.Si., Fajriani, S.Si., Nurfadhilah Jusman, S.Si., Umrah, S.Si., Siti Tohira, S.Si., Nidya Lena Fitria Laksana, S.Si.,), yang telah banyak berkontribusi dalam penyelesaian skripsi ini dari awal penyusunan sampai selesai, yang telah meluangkan banyak waktu dan pikiran dalam berdiskusi tentang masalah yang dihadapi penulis, memberikan motivasi dan dorongan agar terus semangat dan tidak mudah menyerah, serta selalu siap sedia kapanpun dan dimanapun mendengarkan keluh kesah dari penulis.
9. Teman-teman **INTENS17AS** (Angkatan 2017) atas kebersamaannya selama empat tahun ini dan telah banyak mengajarkan artinya persaudaraan dan kekompakan, serta selalu ada saat suka maupun duka.
10. Teman-teman **HMJ-Fisika** yang telah mengajarkan banyak hal tentang organisasi dan manajemen waktu selama dua kepengurusan.

11. Teman-teman **KKN 65** Desa Mappatoba, Kecamatan Salomekko, Kabupaten Bone yang telah banyak memberikan pengalaman dan pelajaran bermasyarakat yang baik.

Sangat banyak orang-orang yang berjasa dalam proses penyelesaian skripsi ini yang tidak sempat disebutkan keseluruhannya, semoga Allah swt. memberikan balasan yang berlipat ganda dan penulis mengucapkan banyak terima kasih dan rasa hormat yang besar. Penulis menyadari bahwa skripsi ini tidak luput dari kekurangan baik dalam bentuk sistematika penulisannya maupun dari segi bahasa yang dimuat di dalamnya. Oleh karena itu, penulis mengharapkan saran dan kritik dari pembaca yang bermanfaat pada penulis dan pada bidang pendidikan serta dalam dunia masyarakat.

Samata, Maret 2022

Penyusun,



DAFTAR ISI

HALAMAN JUDUL	i
PERSETUJUAN PEMBIMBING.....	ii
PERNYATAAN KEASLIAN SKRIPSI.....	iii
PENGESAHAN SKRIPSI.....	iv
SURAT KETERANGAN TURNITIN.....	v
KATA PENGANTAR.....	vi
DAFTAR ISI.....	x
DAFTAR GAMBAR.....	xiii
DAFTAR TABEL.....	xiv
DAFTAR SIMBOL	xv
ABSTRAK	xvi
ABSTRACT	xvii
BAB I PENDAHULUAN.....	1
A. Latar Belakang	1
B. Rumusan Masalah	3
C. Tujuan Penelitian.....	4
D. Ruang Lingkup Penelitian	4
E. Manfaat Penelitian.....	6
BAB II TINJAUAN TEORITIS.....	8
A. Survey Geolistrik Resistivitas	8
B. Metode Geolistrik.....	10

C. Konfigurasi Schlumberger	11
D. Konfigurasi Wenner	14
E. Konfigurasi Wenner Schlumberger.....	19
F. Konfigurasi Dipole-dipole.....	20
G. Electrical Resistivity Tomography (ERT).....	21
H. Hukum Ohm	23
I. Nilai Resistivitas Batuan	23
J. Rangkaian Listrik	24
K. Panel Listrik	27
L. Software Res2Dinv	28
M. Tinjauan Integrasi Keilmuan Penelitian dengan Ayat Al-Qur'an.....	29
BAB III METODE PENELITIAN	34
A. Waktu dan Tempat Penelitian	34
B. Alat dan Bahan Penelitian	34
C. Prosedur Penelitian.....	34
D. Bagan Alir Penelitian.....	43
BAB IV HASIL DAN PEMBAHASAN.....	44
A. Hasil Rancang Bangun dan Penggunaan Panel Geolistrik Multichannel Switch (<i>Wing Electrode 48</i>)	44
B. Hasil pengujian Panel Geolistrik Multichannel Switch (<i>Wing Electrode 48</i>)	49
BAB V PENUTUP.....	56
A. Kesimpulan.....	56

E. Saran.....	57
DAFTAR PUSTAKA	58
RIWAYAT HIDUP	63
LAMPIRAN - LAMPIRAN	64



DAFTAR GAMBAR

No	Keterangan Gambar	Halaman
2.1	Konfigurasi Schlumberger	12
2.2	Perpindahan elektroda arus dan tegangan pada konfigurasi Schlumberger	14
2.3	Konfigurasi Wenner	17
2.4	Susunan konfigurasi Wenner-Beta	18
2.5	Konfigurasi Wenner-Gamma	19
2.6	Konfigurasi Wenner Schlumberger	20
2.7	Konfigurasi dipole-dipole	21
2.8	Dasar rangkaian geolistrik	22
2.9	Potensial di sekitar titik arus di permukaan bumi	22
3.1	Desain panel geolistrik <i>multichannel switch</i>	34
3.2	Rangkaian listrik rancang bangun panel geolistrik <i>multichannel switch</i>	34
3.3	Rangkaian elektroda konfigurasi Wenner	35
3.4	Rangkaian alat geolistrik dengan panel geolistrik <i>multichannel switch</i>	37
4.1	Panel geolistrik <i>multichannel switch</i> (<i>wing electrode 48</i>) tampak dari atas	43
4.2	Panel geolistrik <i>multichannel switch</i> (<i>wing electrode 48</i>) pada bagian bawah (saat kotak dibuka)	44
4.3	Switching A1, M2, N3, dan B4 pada panel geolistrik <i>multichannel switch</i> (<i>wing electrode 48</i>)	46

DAFTAR TABEL

No	Keterangan Tabel	Halaman
2.1	Nilai resistivitas batuan	24
3.1	Tabel akuisisi data lapangan tanpa panel geolistrik <i>multichannel switch (wing electrode 48)</i>	36
3.2	Tabel akuisisi data lapangan dengan panel geolistrik <i>multichannel switch (wing electrode 48)</i>	
4.1	Perbandingan resistivitas semu hasil perhitungan akuisisi data tanpa menggunakan panel dengan menggunakan panel di TPA Barru	47
4.2	Perbandingan resistivitas semu hasil perhitungan akuisisi data tanpa menggunakan panel dengan menggunakan panel di lapangan Kampus UIN Alauddin Makassar	50



DAFTAR SIMBOL

Symbol	Keterangan	Satuan
ρ	Resistivitas Semu	Ωm
K	Faktor Geometri	M
ΔV	Beda Potensial	mV
I	Kuat Arus	mA
R	Hambatan	Ω



UNIVERSITAS ISLAM NEGERI

ALAUDDIN
MAKASSAR

ABSTRAK

Nama : Muh. Waqiatul Hasan

NIM : 60400117039

Judul Skripsi : Rancang Bangun Panel Geolistrik *Multichannel Switch (Wing Electrode 48)* Pengembangan Alat Geolistrik Model *Twin-Probe G-Sound GL 4200* di Laboratorium Fisika Universitas Islam Negeri Alauddin Makassar

Telah dilakukan penelitian yang bertujuan untuk mengetahui bagaimana penggunaan panel geolistrik *multichannel switch (wing electrode 48)* yang dipasangkan dengan alat geolistrik model *twin-probe G-Sound GL 4200*, mengetahui seberapa besar perbedaan yang terbaca dan terukur pada alat geolistrik baik menggunakan *single channel* (alat standar) maupun semi *multichannel* (versi rancang bangun alat) serta mengetahui keefektifan alat dari hasil pengujian akuisisi data lapangan dengan metode geolistrik. Dalam penelitian ini menggunakan konfigurasi wenner. Prinsip kerja panel ini dengan melakukan *switching* pada panel sesuai dengan konfigurasi yang digunakan. Pengujian dilakukan tanpa menggunakan panel dan menggunakan panel. Pengujian pertama didapatkan selisih perbedaan data resistivitas semu mencapai $5.567,45 \Omega\text{m}$ dengan rata-rata $715,64 \Omega\text{m}$ dan persen perbedaan mencapai $28.639,74\%$ dengan rata-rata $2.213,74\%$. Dari hasil tersebut rancangan panel belum berhasil karena diperoleh selisih perbedaan yang sangat tinggi. Pengujian kedua didapatkan selisih data resistivitas semu tertinggi mencapai $9,68 \Omega\text{m}$ dengan rata-rata $0,3 \Omega\text{m}$ dan persen perbedaan mencapai $27,56\%$ dengan rata-rata $0,29\%$. Dari hasil pengujian, kedua rancangan panel telah berhasil karena data hasil injeksi menujukkan kesamaan hasil injeksi tanpa menggunakan panel dan menggunakan panel. Dari hasil pengujian kedua dapat disimpulkan bahwa penggunaan panel geolistrik sangat efektif.

Kata Kunci: *Geolistrik, konfigurasi wenner, multichannel, resistivitas semu*



ABSTRACT

Nama	: Muh. Waqiatul Hasan
NIM	: 60400117039
Thesis Title	: Design of <i>Multichannel Switch (Wing Electrode 48)</i> Geoelectric Panel Development of <i>Twin-Probe G-Sound GL</i> 4200 Geoelectric Equipment Model at the Physics Laboratory of Alauddin Islamic State University Makassar

Research on Design of *Multichannel Switch (Wing Electrode 48)* Geoelectric Panel Development of *Twin-Probe G-Sound GL* 4200 Geoelectric Equipment Model at the Physics Laboratory of Alauddin Islamic State University Makassar has been carried out. The aim of the study how to use *multichannel switch (wing electrode 48)* which is paired with a *twin-probe G-Sound GL* 4200 geoelectric device, to determine how much difference is read and measured on the geoelectric device using either a *single channel* (standard tool) or *semi-multichannel* (tool design version) and determine the effectiveness of the tool from the results of field data acquisition testing using the geoelectric method. In this study using the wenner configuration. The working principle of this panel is by *switching* the panel according to the configuration used. Tests are carried out without using panels and using panels. The first test found that the difference in apparent resistivity data reached $5567,45 \Omega\text{m}$ with the average of $715,64 \Omega\text{m}$ and the percent difference reached 28639,74% with the average of 2213,74%. From these results the panel design has not been successful because the differences are very high. The second test found that the difference in the highest apparent resistivity data reached $9,68 \Omega\text{m}$ with the average of $0,3 \Omega\text{m}$ and the percent difference reached 27,56% with the average of 0,29%. From the test results, both panel designs have been successful because the injection results data show the similarity of the injection results without using panels and using panels. From the results of the second test, it can be concluded that the use of geoelectric panels is very effective.

Keywords: Apparent resistivity, geoelectric, multichannel, wenner configuration

MAKASSAR

BAB I

PENDAHULUAN

A. *Latar Belakang*

Bumi memiliki ciri fisis yang terdapat pada batuan. Sifat fisis tersebut merupakan salah satu komponen dari lapisan bumi. Salah satu komponen penyusun lapisan bumi karena adanya sifat kelistrikkannya. Sifat listrik terbentuk karena adanya mineral yang membentuk bagian dari lapisan bumi dan berinteraksi dengan bagian-bagian lainnya untuk membentuk bagian tertentu dari lapisan bumi (Gusmara, 2016).

Batuhan dan mineral yang terdapat di bumi memiliki sifat kelistrikan seperti potensial listrik alami, konduktivitas listrik, dan konstanta dielektrik (Fattahliim, 2021). Ada beberapa metode yang dapat digunakan untuk mempelajari sifat kelistrikan di bawah permukaan bumi. Salah satunya adalah metode geolistrik. Metode ini dapat digunakan untuk mempelajari sifat kelistrikan bumi melalui respon yang dideteksi dari dalam bumi berupa perbedaan beda potensial listrik, arus dan medan elektromagnetik. Salah satu metode geolistrik tersebut adalah metode tahanan jenis (Resistivitas).

Alat yang digunakan untuk mengetahui nilai resistivitas bahan yang ada di bawah permukaan bumi adalah alat geolistrik *Resistivity Meter Single Channel* maupun *Multichannel*. Alat geolistrik *Resistivity Meter* juga dimiliki oleh jurusan fisika fakultas sains dan teknologi UIN Alauddin Makassar yang masih berupa alat *single channel*. Alat geolistrik *single channel* ini hanya memiliki empat buah

elektroda yaitu 2 elektroda arus dan 2 elektroda potensial, sehingga proses akuisisi data di lapangan menguras tenaga untuk pemindahan elektroda arus dan tegangan sehingga akuisisi data lapangan memerlukan waktu yang relatif lama.

Sejalan dengan hal tersebut maka dilakukan penelitian berupa rancang bangun panel geolistrik *multichannel switch (wing electrode 48)*. Switching merupakan salah satu konsep yang digunakan dalam alat geolistrik *multichannel* yang dirancang secara otomatis. Konsep ini juga digunakan dalam akuisisi data menggunakan alat geolistrik *single channel*. Namun pada alat geolistrik *single channel* dilakukan secara manual. Pada penelitian sebelumnya yang dilakukan oleh (Indarto, 2016) berhasil membuat alat pengukuran resistivitas dengan menggunakan sumber arus yang konstan yang memiliki tiga tahapan kerja utama yakni peninggi tegangan (konverter *boots*) dari tegangan 12 V menjadi 250 V, Sistem kontrol sumber arus konstan 0,1 mA dan 1 mA, serta sistem pengukuran (tegangan dan arus). Penelitian seperti ini juga dilakukan oleh (Muhammad & Gunawan, 2016) berhasil membuat alat geolistrik berbasis *pulse-width modulation* (PWM). PWM berfungsi sebagai *power supply* yang memiliki keunggulan yang praktis dan ringan dimana hanya menyusun secara seri beberapa PCB, dibandingkan dengan menggunakan trafo yang memiliki massa yang besar, sehingga tidak praktis digunakan pada kondisi alam yang memerlukan perjalanan yang cukup jauh ke lokasi survei. kedua rancangan alat geolistrik diatas tersebut masih berupa alat geolistrik *single channel*.

Alat geolistrik *multichannel* adalah alat ukur resistivitas dengan sentuhan teknologi terdepan dengan sistem pengukuran dengan menggunakan elektroda

banyak saluran (*multichannel*). Alat ini didesain *full* otomatis sehingga memiliki kelebihan dalam proses akuisisi data lapangan salah satunya yaitu tidak banyak menguras tenaga serta memerlukan waktu yang relatif lama untuk pemindahan elektroda arus dan tegangan seperti yang dilakukan pada alat geolistrik *single channel*. Alat geolistrik *multichannel* juga memiliki kekurangan salah satunya tidak dapat direset lagi ketika ada data yang menyimpang dalam prosesnya. Selain itu, alat geolistrik *multichannel* lebih mahal dari alat geolistrik *single channel*.

Berdasarkan permasalahan di atas diperlukan suatu rancangan yang dapat mengembangkan alat geolistrik *single channel* yang dimiliki laboratorium fisika UIN alauddin makassar menjadi alat geolistrik semi *multichannel*. Pengembangan alat geolistrik *single channel* ini dengan menambahkan panel *switch* yang memiliki banyak saluran (*multichannel*) elektroda. Dengan pengembangan alat geolistrik ini dalam penggunaannya dapat mempercepat dan mempermudah praktisi dalam proses akuisisi data lapangan.

Dari uraian di atas, penulis akan melakukan penelitian sebagai tugas akhir dengan judul “**Rancang Bangun Panel Geolistrik Multichannel Switch (Wing Electrode 48) (Pengembangan Alat Geolistrik Model Twin-Probe (G-Sound) GL 4200) di Laboratorium Fisika Universitas Islam Negeri Alauddin Makassar**” dimana nantinya akan dipasangkan dengan alat geolistrik model *twin-probe (G-Sound)* GL 4200 menjadi alat geolistrik semi *multichannel*.

B. Rumusan Masalah

Berdasarkan latar belakang di atas, maka rumusan masalah dalam penelitian ini adalah sebagai berikut:

- a. Bagaimana penggunaan panel geolistrik *multichannel switch (wing electrode 48)* yang dipasangkan dengan alat geolistrik model *twin-probe (G-Sound)* GL 4200?
- b. Seberapa besar perbedaan yang terbaca dan terukur pada alat ukur geolistrik baik menggunakan *single channel* (alat standar) maupun semi *multichannel* (versi rancang bangun alat) serta mengetahui tingkat keefektifan alat dari hasil perbandingan data lapangan metode geolistrik?

C. Tujuan Penelitian

Tujuan penelitian ini adalah sebagai berikut:

- a. Mengetahui bagaimana penggunaan panel geolistrik *multichannel switch (wing electrode 48)* yang dipasangkan dengan alat geolistrik model *twin-probe (G-Sound)* GL 4200.
- b. Mengetahui seberapa besar perbedaan yang terbaca dan terukur pada alat geolistrik baik menggunakan *single channel* (alat standar) maupun semi *multichannel* (versi rancang bangun alat) serta mengetahui tingkat keefektifan alat dari hasil perbandingan akuisisi data lapangan metode geolistrik.

D. Ruang Lingkup Penelitian

Ruang lingkup penelitian ini adalah sebagai berikut:

- a. Rancang bangun alat dalam penelitian ini didefinisikan sebagai proses pembuatan alat dengan model pengembangan alat geolistrik yang semula alat geolistrik *single channel* dan akan dikembangkan menjadi alat geolistrik semi *multichannel* dengan tambahan panel geolistrik *multichannel switch (wing electrode 48)*.

- b. Wing electrode 48 yang dimaksud dalam penelitian ini adalah panel *switching* yang mampu menggunakan 48 buah elektroda.
- c. Panel geolistrik *multichannel switch* (*wing electrode 48*) dipasangkan dengan alat geolistrik model *twin-probe* (*G-Sound*) GL 4200.
- d. Data pembanding yang dijadikan acuan keberhasilan alat adalah dengan membandingkan data pengukuran antara hasil keterbacaan parameter arus, tegangan serta konfigurasi yang digunakan sama dengan alat yang akan dirancang.
- e. Pengujian dilakukan dengan menggunakan konfigurasi Wenner.
- f. Panel geolistrik *multichannel switch* (*wing electrode 48*) dapat digunakan pada konfigurasi Wenner, konfigurasi Wenner-Schlumberger dan konfigurasi Dipole-dipole.
- g. Rangkaian yang akan digunakan dalam rancang bangun panel geolistrik *multichannel switch* (*wing electrode 48*) adalah rangkaian seri-paralel.
- h. Model rancang bangun yang diterapkan panel geolistrik *multichannel switch* (*wing electrode 48*) dengan menggunakan saklar *toggle* sebagai *switching*.
- i. Keefektifan rancang bangun dilihat dari hasil akuisisi data lapangan dengan metode geolistrik menggunakan alat geolistrik *single channel* (alat standar) dan alat geolistrik semi *multichannel* (versi rancang bangun alat).
- j. Tegangan *input* pada alat geolistrik *single channel* model *twin-probe* (*G-Sound*) GL 4200 sebesar 12 Volt, tegangan *output* sebesar 400 V – 500 V.

E. Manfaat Penelitian

Manfaat penelitian ini adalah sebagai berikut:

1. Manfaat akademis

Penelitian ini sangat bermanfaat bagi akademisi dan praktisi karena dapat memudahkan serta meminimalisir waktu akuisisi data lapangan dengan metode geolistrik resistivitas.

2. Manfaat dalam pengaplikasian rancang bangun

Penelitian ini fokus pada pembuatan panel geolistrik *multichannel switch* yang akan dipasangkan dengan alat geolistrik model *twin-probe (G-Sound)* GL 4200 menjadi alat geolistrik semi *multichannel*. Dengan pengembangan alat geolistrik ini diperoleh beberapa keunggulan dari alat geolistrik *single channel* maupun alat geolistrik *multichannel* yaitu:

- a. Dalam penggunaan panel ini dapat mempercepat praktisi dalam proses akuisisi data lapangan dibandingkan dengan alat *single channel*.
- b. Mengurangi tenaga dalam proses akuisisi data lapangan dibandingkan alat *single channel*.
- c. Dalam pemindahan elektroda memerlukan waktu yang relatif singkat dibandingkan alat *single channel*.
- d. Panel geolistrik *multichannel switch (wing electrode 48)* dapat digunakan pada konfigurasi Wenner, konfigurasi Wenner-Schlumberger dan konfigurasi Dipole-dipole.
- e. Dapat mengulang akuisisi data lapangan jika terdapat data yang menyimpang dibandingkan dengan alat *multichannel*.

- f. Alat geolistrik semi *multichannel* ini lebih praktis digunakan pada kondisi alam yang memerlukan perjalanan yang cukup jauh ke lokasi survei.
- g. Pembuatan panel geolistrik *multichannel switch (wing electrode 48)* relatif lebih murah dibandingkan alat *multichannel*.



BAB II

TINJAUAN TEORITIS

A. Survey Geolistrik Resistivitas

Pengukuran resistivitas geolistrik memberikan gambaran tentang distribusi resistivitas bawah permukaan. Untuk mengubah nilai resistivitas menjadi bentuk geologi, diperlukan pengetahuan umum nilai resistivitas untuk setiap jenis material dan struktur geologi lokasi penelitian. Adanya cairan atau air dalam sistem rekahan atau pada ruang antara butir batuan dapat mengurangi nilai resistivitas batuan. Beberapa ahli geologi telah memberikan nilai tahanan jenis beberapa jenis batuan (Widodo et al., 2005).

Metode geolistrik selalu mengasumsikan bahwa bumi secara isotropis homogen. Ketika arus diinjeksikan ke bumi, efek yang diukur dalam bentuk beda potensial yang diamati secara tidak langsung adalah jenis hambatan lapisan tertentu di permukaan bumi. Namun, nilai ini bukan nilai resistansi yang sebenarnya. Jenis hambatan ini adalah besaran yang nilainya tergantung pada jarak antara elektroda. Sedangkan realitas bumi terdiri dari lapisan-lapisan dengan nilai hambatan yang berbeda-beda, sehingga potensial yang terukur adalah pengaruh lapisan-lapisan tersebut. Jenis resistansi ini dikenal sebagai resistivitas semu (Darmawan et al., 2014).

Cara menentukan nilai resistivitas semu (Indarto, 2016) dapat dirumuskan:

$$\rho = k \frac{\Delta V}{I} \quad (2.1)$$

Keterangan:

P = Resistivitas Semu (Ωm),

K = Faktor Geometri (m),

ΔV = Beda Potensial (V),

I = Kuat Arus (A)

Bumi adalah medium berlapis, dan setiap lapisan memiliki resistivitas yang berbeda. Resistivitas semu adalah konsep abstrak dimana penjelasan tentang kedalaman dan sifat-sifat lapisan yang diberikan sesuai. Sebagai contoh, media yang diperiksa terdiri dari 2 (dua) lapisan dan memiliki nilai resistansi yang berbeda (ρ_1 dan ρ_2). Selama pengukuran medium ini dianggap sebagai lapisan homogen dan memiliki nilai resistansi spesifik, yaitu ρ_a (*Apparent Resistivity*) atau resistivitas semu (Hakim & Manrulu, 2016).

Resistivitas semu yang dihasilkan oleh setiap konfigurasi berbeda, meskipun jarak antara elektrodanya sama, sehingga ρ_{aw} dikenal sebagai resistivitas semu konfigurasi Wenner dan ρ_{as} untuk konfigurasi Schlumberger. Jika jarak antara elektroda arus kecil, hasilnya adalah nilai yang nilainya dekat dengan batu di dekat permukaan. Dalam kasus media berlapis, resistansi nyata ini adalah fungsi dari rentang (jarak antara elektroda arus). Sedangkan untuk jarak jauh diperoleh nilai ρ yang mewakili nilai batuan yang berada lebih dalam di permukaan bumi (A. S. Wijaya, 2015).

B. Metode Geolistrik

Geolistrik merupakan salah satu metode geofisika yang mempelajari aliran listrik di permukaan bumi (Agussalim & Rizal, 2021). Penginderaan di atas permukaan bumi melibatkan pengukuran potensial, arus, dan medan elektromagnetik yang terjadi baik secara alami maupun sebagai akibat dari injeksi arus listrik ke permukaan bumi. Metode geolistrik yang terkenal antara lain: metode Potensial Diri (SP), Arus *Earthly, Magnetotelluric, IP (Induced Polarization)*, dan Resistivitas (Hambatan jenis) (Rozaq, 2004).

Metode geolistrik resistivitas dilakukan dengan menginjeksikan arus listrik ke dalam tanah, yang kemudian mengukur beda potensial antara dua elektroda potensial. Dalam kondisi tertentu, injeksi arus dengan arus konstan ke dalam lapisan tanah menyebabkan perbedaan tegangan, yang memberikan informasi tentang perubahan resistansi di permukaan bumi, yang berisi informasi tentang struktur dan batuan yang dilaluinya. Prinsip ini sama dengan anggapan bahwa batuan dan mineral di dalam bumi memiliki sifat resistan tertentu, seperti perilaku resistor, dimana komponen-komponennya memiliki kapasitas yang berbeda untuk menghantarkan arus listrik. Dengan mengetahui nilai resistivitas yang ada di permukaan bumi, kita dapat mengetahui jenis batuan dan mineral yang terdapat di bawah permukaan bumi dan struktur bagian-bagian (Nugroho et al., 2018).

Metode resistivitas geolistrik ini sangat efektif untuk mempelajari kondisi bawah permukaan yang. Meskipun secara teori dapat digunakan untuk target yang lebih dalam. Di bidang geologi metode ini sering digunakan untuk eksplorasi mineral logam, untuk menentukan sifat geoteknik batuan untuk perencanaan

pondasi, untuk pencarian akuifer dan untuk eksplorasi panas bumi. Dalam bidang non-geologi metode geolistrik juga sering digunakan untuk studi arkeologi dan lingkungan.

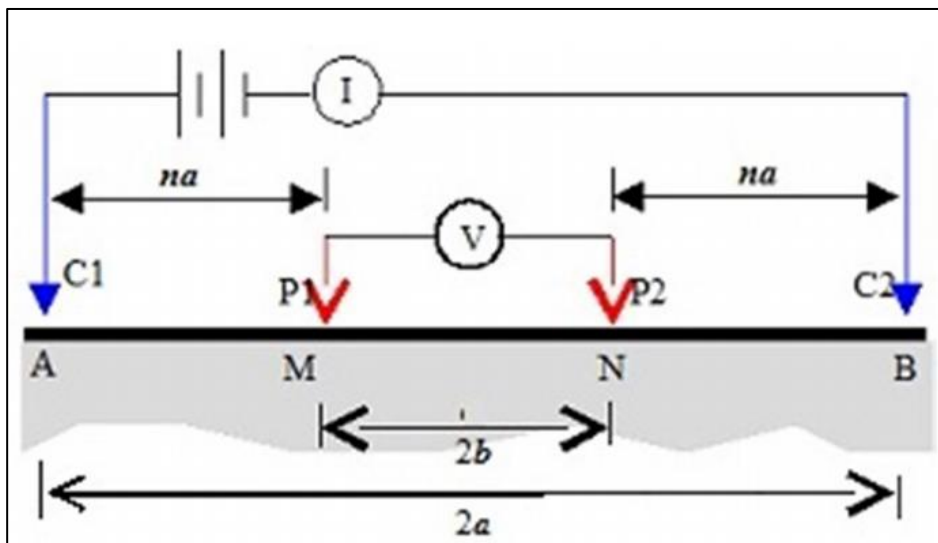
Berdasarkan konfigurasi elektroda arus dan tegangan, metode geolistrik resistivitas dapat dibedakan menjadi tiga macam, yaitu *Constant Separation Traversing* (CST), *Vertical Electrical Sounding* (VES), dan kombinasi keduanya. Dengan tersedianya peralatan komputer yang semakin canggih, teknik tomografi geolistrik telah berkembang di beberapa tempat. Dengan metode ini dapat menggambarkan kondisi bawah permukaan secara tiga dimensi (Lordon et al., 2017).

Metode tahanan jenis (resistivitas) didasarkan pada kenyataan bahwa sebagian arus listrik yang diinjeksikan ke dalam lapisan batuan merambat ke batuan pada kedalaman tertentu dan bertambah dengan bertambahnya jarak antara elektroda, sehingga jika jarak antara sepasang elektroda bertambah, maka distribusi perbedaan potensial di permukaan bumi meningkat dengan nilai resistansi yang berbeda (Suciningtyas et al., 2013).

C. Konfigurasi Schlumberger

Konfigurasi Schlumberger menggunakan empat buah elektroda dengan dua buah elektroda potensial dan dua buah elektroda arus yang disusun dalam satu garis lurus, susunan jarak antara elektroda potensial lebih kecil dari jarak elektroda arus. Susunan elektroda pada konfigurasi Schlumberger dapat dilihat pada gambar 2.1n menunjukkan bahwa elektroda M dan N digunakan sebagai elektroda potensial

sedangkan elektroda A dan B digunakan sebagai elektroda arus dengan jarak antara masing-masing elektroda (Apriniyadi et al., 2021).



Gambar 2.1: Konfigurasi Schlumberger (Sehah & Ratsanjani, 2021)

Pada konfigurasi Schlumberger, jarak ideal dikurangi menjadi jarak MN, sehingga jarak MN secara teoritis tetap konstan. Namun, karena sensitivitas alat ukur yang terbatas, maka jarak AB relatif besar sehingga diperlukan perubahan jarak pada MN. Perubahan jarak MN tidak boleh melebihi 1/5 dari jarak AB. Variasi jarak MN tidak boleh melebihi 1/5 dari jarak AB. Resistivitas semu berada pada tengah MN. Prinsip konfigurasi Schlumberger adalah memvariasikan arus celah elektroda. Namun, semakin besar jarak antara elektroda arus dan elektroda potensial, maka semakin rendah potensial yang diterima oleh elektroda arus (Zuhdi & Wachid, 2021).

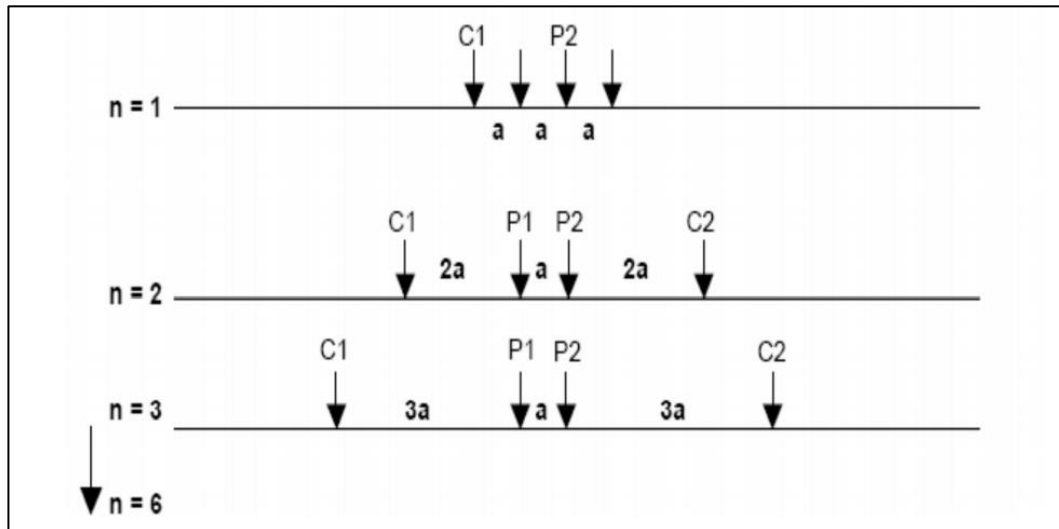
Konfigurasi Schlumberger juga dikenal dengan teknik *Vertical Electrical Sounding* (Febriana et al., 2017). Teknik akuisisi ini dapat dilakukan dengan cara memvariasi jarak bentangan elektroda C1 terhadap P1, dan C2 terhadap P sebagaimana ditunjukkan pada Gambar 2.1. Awalnya jarak antar masing-masing

elektroda dibuat sama, misalnya a. Pengukuran data dilakukan dengan meliputi kuat arus, beda potensial, dan jarak $\frac{1}{2}AB$ dan $\frac{1}{2}MN$. Pada saat pengukuran selanjutnya jarak antara elektroda C1 bertambah terhadap P1 dan C2 bertambah terhadap P2, misal 2a (Irayani et al., 2020). Begitu seterusnya hingga pengukuran mencakupi seluruh lintasan. Jarak elektroda potensial (P1 dan P2) dapat diperlebar secara perlahan jika jarak antara elektroda arus (C1 dan C2) begitu besar, selama kondisi $AB \geq 5MN$.

Konfigurasi Schlumberger pada survei geolistrik memiliki kelebihan dan kekurangan. Kelebihannya adalah dapat mendeteksi keberadaan lapisan batuan yang heterogen di dekat dan di bawah permukaan, atau dengan membandingkan nilai resistivitas semu pada saat jarak elektroda potensial $MN/2$ diperbesar. Namun, kelemahan pada konfigurasi Schlumberger terdapat pada beda potensial yang terbaca pada elektroda MN lebih kecil, terutama bila jarak antar elektroda AB relatif besar (Sehah & Ratsanjani, 2021).

Konfigurasi Schlumberger biasanya digunakan untuk *sounding*, yaitu pengambilan data resistivitas batuan bawah permukaan yang difokuskan secara vertikal, sehingga sering disebut teknik *Vertical Electrical Sounding* (VES) (A. Wijaya & Kusmiran, 2021).

Perubahan jarak antara elektroda secara bertahap untuk mendapatkan data kedalaman dan batuan bawah permukaan berdasarkan nilai resistansi vertikal (*vertical sounding*). Semakin lebar jarak antara elektroda, maka semakin banyak informasi tentang struktur dan jenis batuan di bawah permukaan tanah (Sehah & Aziz, 2016).



Gambar 2.2: Perpindahan elektroda arus dan tegangan pada konfigurasi

Schlumberger (Reynolds, 1998).

Faktor geometri pada konfigurasi Schlumberger dapat ditentukan (Sehah & Ratsanjani, 2021) sebagai berikut:

$$k = \frac{2\pi}{\left(\frac{1}{AM} - \frac{1}{MB}\right) - \left(\frac{1}{AN} - \frac{1}{NB}\right)} = \pi \left(\frac{a^2 - b^2}{2b} \right) \quad (2.2)$$

Keterangan:

K = Faktor Geometri

AM = Jarak Elektroda A dengan M (m)

MB = Jarak Elektroda M dengan B (m)

AN = Jarak Elektroda A dengan N (m)

NB = Jarak Elektroda N dengan B (m)

D. Konfigurasi Wenner

Konfigurasi Wenner adalah salah satu metode yang digunakan pada metode geolistrik untuk eksplorasi bawah tanah. Metode ini menggunakan empat buah elektroda yang berguna untuk mengukur resistivitas sebuah medium tanah dengan

menginjeksikan arus listrik ke elektroda arus dan diukur dengan elektroda potensial (Suprapto, 2006). Konfigurasi Wenner memiliki keuntungan karena sensitif terhadap efek ketidakhomogenan objek di bawah permukaan bumi secara horizontal dan memiliki resolusi vertikal yang baik. Dengan demikian, konfigurasi Wenner cocok untuk mengidentifikasi batuan di bawah permukaan bumi pada setiap lapisannya (Novia S, 2013).

Konfigurasi Wenner merupakan metode yang menggunakan susunan jarak spasi sama panjang. spasi antara elektroda arus dengan elektroda potensial tiga kali, sedangkan jarak potensial dengan jarak soundingnya adalah $a/2$, maka masing-masing jarak antar elektroda arus adalah $3a/2$ dengan titik soundingnya dengan target kedalaman yang dicapai $a/2$. Akuisisi data susunan elektroda arus dan elektroda potensial harus simetri dengan titik *sounding* (A. S. Wijaya, 2015).

Konfigurasi wenner dengan jarak spasi yang sama ini sering digunakan dalam proses eksplorasi ($r_1 = r_4 = a$ dan $r_2 = r_3 = 2a$). Jarak elektroda arus sebanding dengan tiga kali jarak elektroda potensial, jarak dari titik *sounding* ke elektroda potensial adalah $2/a$, jadi titik *sounding* dengan elektroda arus mempunyai jarak masing-masing sebesar $2/3a$. Dengan metode wenner ini dapat mencapai target kedalaman $2/a$. Target kedalaman yang mampu dicapai pada metode ini adalah $2/a$. Dalam pengambilan data lapangan elektroda potensial dan elektroda arus disusun secara simetris dengan titik soundingnya (Telford et al., 1990).

Nilai tahanan jenis diperoleh dari hubungan antara beda potensial, kuat arus dan faktor geometri. Hasil pengukuran tahanan jenis yang diperoleh merupakan tahanan jenis semu dan bukan tahanan jenis yang sebenarnya. Hal ini disebabkan

karena ketidakhomogenan bumi yang terdiri dari lapisan batuan dan tahanan jenis yang berbeda-beda sehingga berpengaruh terhadap hasil pengukuran potensial listrik (Mutia et al., 2018).

Konfigurasi wenner memiliki tingkat ketelitian yang baik dalam membaca tegangan elektroda MN. Hal ini disebabkan karena jarak antar elektroda MN dan AB yang dekat sehingga nilainya relatif besar. Selain itu kelebihan dari konfigurasi ini adalah jika digunakan pasangan elektroda yang berbeda dalam satu set, maka usulan aturan penyusunan elektroda adalah cara terbaik untuk memperoleh nilai resistivitas semu pada setiap spasi konfigurasi wenner terkhususnya dalam pengukuran kedalaman yang dangkal (Faleiro et al., 2019).

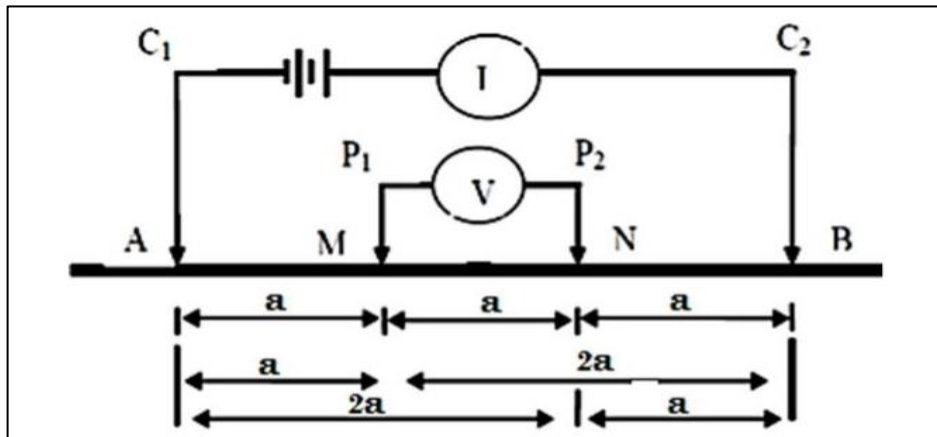
Selain memiliki kelebihan, konfigurasi wenner juga memiliki kekurangan, misalnya konfigurasi ini tidak mampu menemukan homogenitas pada permukaan batuan yang dapat mempengaruhi hasil pengukuran. Faktor non homogenitas yang ada pada data pengukuran sangat sulit untuk dihilangkan sehingga mempengaruhi keakuratan data (Syukri, 2020).

Konfigurasi wenner dibagi menjadi menjadi tiga konfigurasi dengan posisi elektroda arus dan tegangan berbeda beda sebagai berikut

1. Konfigurasi Wenner Alpha

Wenner Alpha memiliki nilai sensitivitas tertinggi dibawah pusat konfigurasi. Faktor geometri Wenner Alpha $k = 2\pi a$ sehingga memiliki sinyal yang kuat dan cocok digunakan pada daerah yang banyak *noise*. Di bawah permukaan antara C1 P2 dan C2 P2 memiliki nilai negatif. Susunan elektroda Wenner Alpha

adalah C1 P1 P2 C2 (Malik et al., 2014). Susunan elektroda Wenner Alpha dapat dilihat pada gambar 2.3



Gambar 2.3: Konfigurasi Wenner Alpha (Indarto, 2016).

Faktor geometri (K) untuk Konfigurasi Wenner dengan jarak spasi antar elektroda dimisalkan a (A. S. Wijaya, 2015) adalah:

$$K = 2\pi a \quad (2.3)$$

Dengan:

K = Faktor Geometri

a = Spasi Antara Elektroda (m)

sedangkan resistivitas semu dalam Konfigurasi Wenner dapat dinyatakan sebagai:

$$\rho = 2\pi a \frac{\Delta V}{I} \quad (2.4)$$

Keterangan:

ρ = Resistivitas Semu (Ωm)

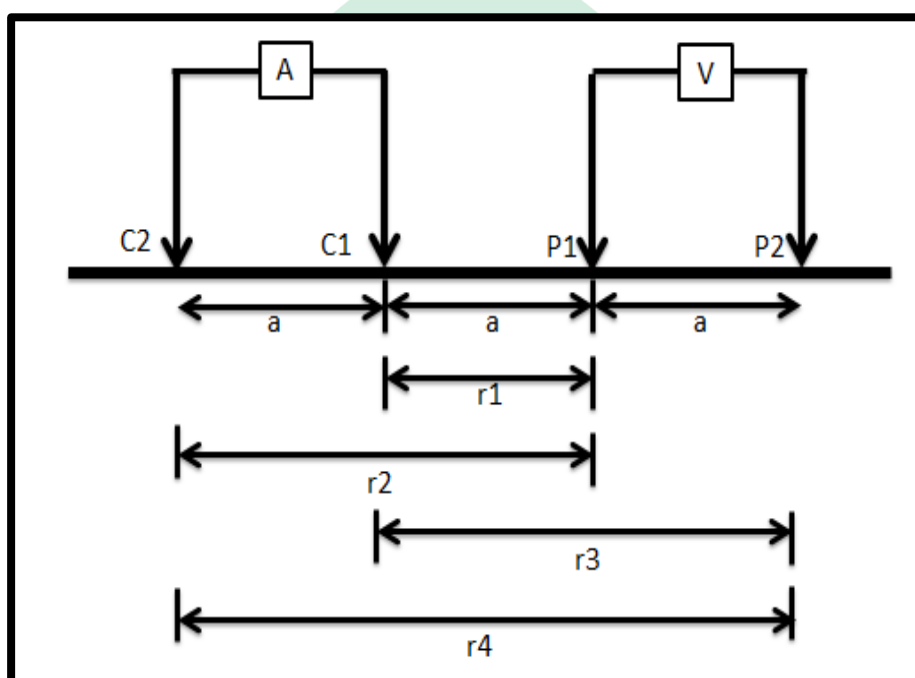
a = Spasi Antara Elektroda (m)

ΔV = Beda Potensial (mV)

I = Kuat Arus (mA)

2. Konfigurasi Wenner Beta

Faktor geometri wenner beta adalah $k = 6 \pi a$. Wenner beta memiliki konfigurasi elektroda C2-C1-P2-P1 dengan jarak antar elektroda sebesar “a”. Diantara kelebihan wenner beta adalah lebih sensitif terhadap perubahan horizon dibandingkan wenner alpha (Loke, 2000). Susunan elektroda wenner beta dapat dilihat pada gambar 2.4



Gambar 2.4: Susunan konfigurasi wenner-beta (Vebrianto, 2016).

Faktor geometri untuk wenner-beta dapat dilihat pada persamaan berikut:

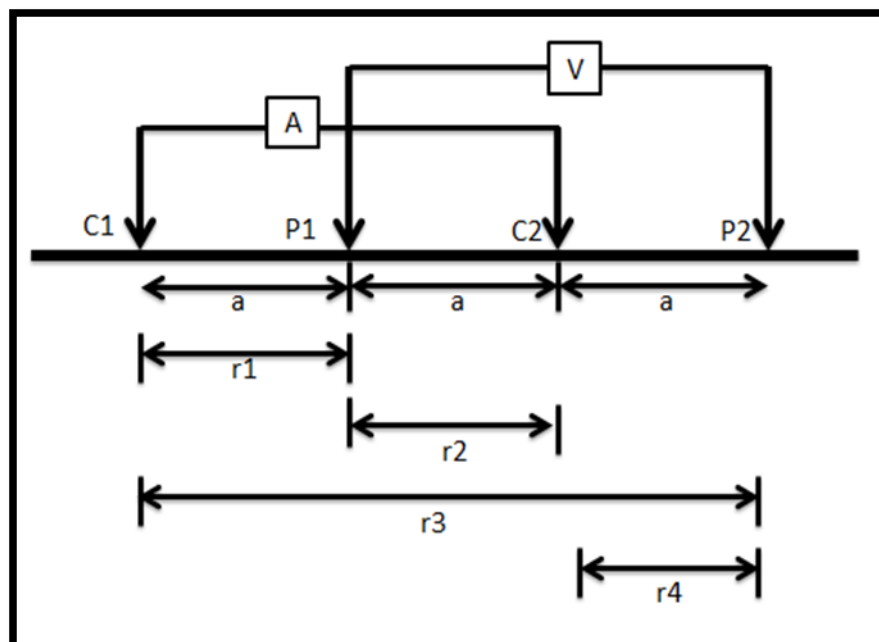
$$K = 6\pi a \quad (2.5)$$

Keunggulan dari konfigurasi ini adalah tingkat sensitif terhadap perubahan horizontal lebih baik daripada wenner-alpha (A. N. S. Wijaya, 2019).

3. Konfigurasi Wenner Gamma

Konfigurasi ini jarang digunakan karena tidak bekerja dengan baik secara vertikal maupun horizontal. Konfigurasi elektroda Wenner Gamma adalah C1 P1

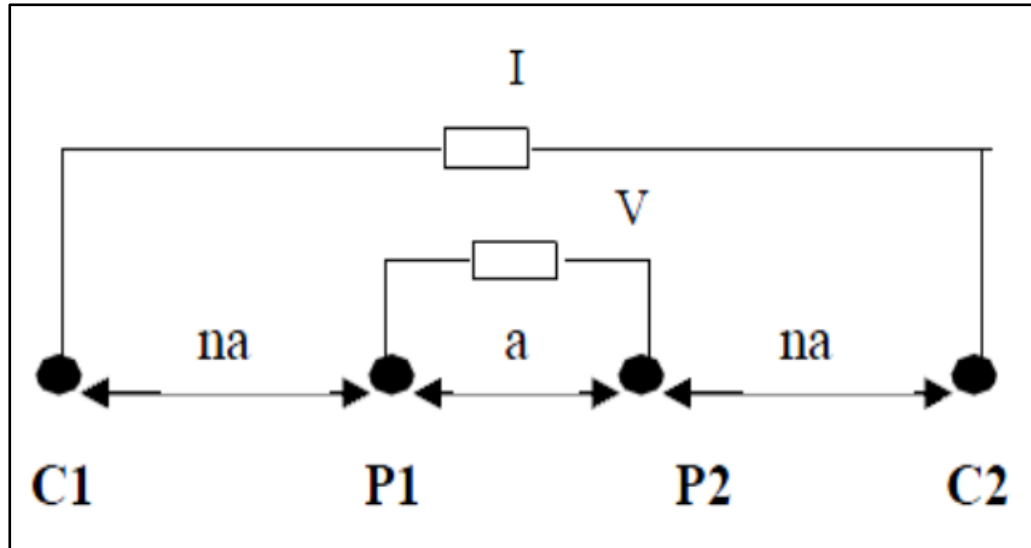
C2 P2. Faktor geometri konfigurasi ini adalah $k = 3 \pi a$ (Loke, 2000). Skema elektroda konfigurasi Wenner Gamma dapat dilihat pada gambar 2.5



Gambar 2.5: Konfigurasi Wenner-Gamma (Vebrianto, 2016).

E. Konfigurasi Wenner Schlumberger

Wenner Schlumberger merupakan suatu gabungan antara Konfigurasi Wenner dan Schlumberger. Wenner Schlumberger merupakan konfigurasi elektroda metode geolistrik yang sudah umum digunakan karena memiliki cakupan horizontal sedikit lebih baik dibandingkan konfigurasi wenner (Haryani et al., 2021). Konfigurasi elektroda untuk Wenner Schlumberger adalah C1 P1 P2 C2. Faktor geometri dari konfigurasi ini adalah $k = \pi n (n+1) a$. Skema elektroda Wenner Schlumberger dapat dilihat pada gambar berikut:



Gambar 2.6: Konfigurasi Wenner Schlumberger (Haryani et al., 2021).

F. Konfigurasi Dipole-dipole

Konfigurasi Dipole-dipole sangat sensitif terhadap perubahan resistivitas secara horizontal dan vertikal. Secara umum, pemetaan struktur longitudinal, seperti keberadaan kubah akan memberikan hasil yang lebih baik. Sementara itu, pada pemetaan struktur penampang (transversal) dapat mengidentifikasi keberadaan sedimen atau adanya lipatan sinklin dan antiklin (Yuliana et al., 2017).

Konfigurasi dipole-dipole sering digunakan dalam studi geolistrik karena skema posisi elektroda yang relatif sederhana. Konfigurasi dipole-dipole menyediakan rangkaian sepasang elektroda arus C2 dan C1 dan sepasang elektroda tegangan P1 dan P2. Elektroda arus C2 dan C1 memiliki jarak spasi yang sama dengan elektroda tegangan P1 dan P2. Namun, jarak antara C1 dengan P1 meningkat atau diperbesar dan dimisalkan dengan na (Yuliana et al., 2017).

Skema posisi elektroda pada konfigurasi dipole-dipole dapat dilihat pada Gambar. Faktor geometri pada konfigurasi Dipole-dipole adalah:

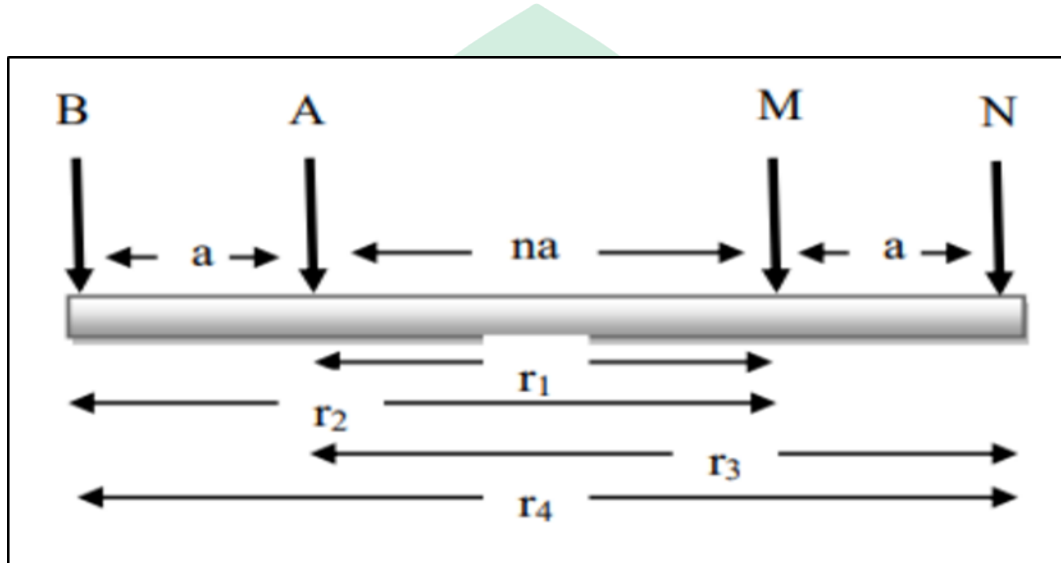
$$K = \pi a n (1 + n) (2 + n) \quad (2.6)$$

Keterangan:

K = Faktor Geometri

a = Spasi Elektroda (m)

n = Konstanta (n= 1,2,3,4,5,6)

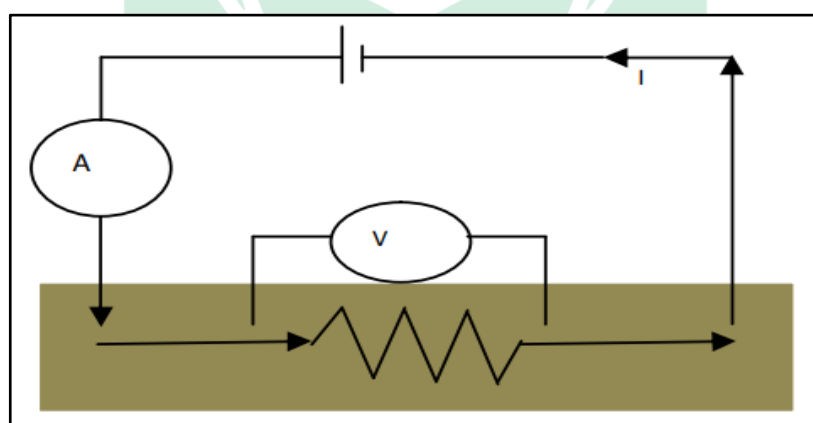


Gambar 2.7: Konfigurasi Dipole-dipole (Lamusu, 2021).

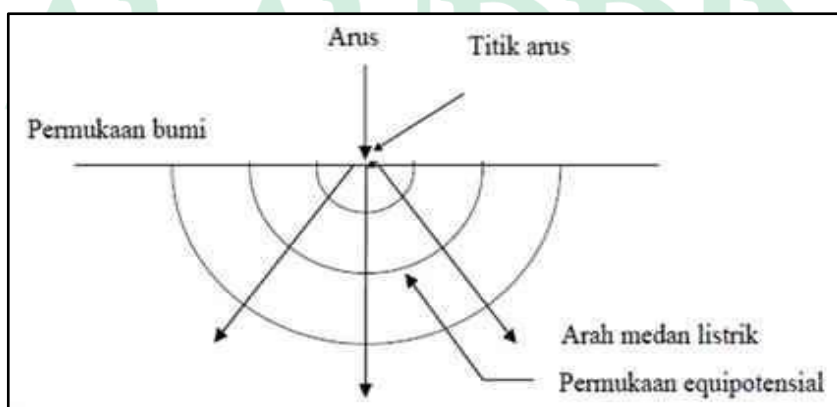
G. Electrical Resistivity Tomography (ERT)

Electrical Resistivity Tomography (ERT) adalah metode geolistrik yang menggunakan *multi* elektroda untuk mengetahui informasi berdasarkan nilai resistivitas dan pola distribusi pada material yang berada di bawah permukaan bumi (Lowrie & Fichtner, 2007). Metode ERT menggunakan prinsip kerja dengan menginputkan arus listrik frekuensi rendah ke dalam tanah lalu distribusi potensial listriknya diukur menggunakan elektroda potensial. Resistivitas yang berada dalam permukaan bawah tanah bisa diketahui dengan arus yang mengalir pada elektroda dan besar potensial yang keluar. Metode ini menganggap bumi sebagai resistor

(Timotius et al., 2014). Nilai resistivitas dipengaruhi oleh beberapa faktor diantaranya jenis material, ukuran dan bentuk pori pada material, kadar air yang terkandung di dalam material serta temperatur. Nilai resistivitas dapat dikontrol dengan kondisi air yang berada di dalam tanah (Todd & Mays, 2005). Pada dasarnya batuan memiliki sifat kelistrikan. Batuan dari struktur pembentuknya tersusun dari mineral-mineral yang bersifat konduktif. Ketika diinjeksikan arus karakteristik dari batuan menjadikan batuan memiliki sifat konduktif. Batuan padat memiliki resistivitas tinggi, sedangkan pasir memiliki resistivitas rendah, karena pasir mampu menyerap air (Agusalim, 2015). Dasar rangkaian metode ERT dalam bidang geofisika dapat dilihat dalam Gambar 2.8



Gambar 2.8: Dasar rangkaian geolistrik (Septyanto et al., 2019).



Gambar 2.9: Potensial di sekitar titik arus di permukaan

bumi (Hakim & Manrulu, 2016).

Struktur permukaan bawah tanah dapat diketahui dengan memasang spasi antar elektroda arus dengan elektroda potensial. Besar spasi yang diberikan mempengaruhi tingkat penembusan dari arus yang melalui elektroda, sehingga informasi yang diberikan semakin dalam (Septyanto et al., 2019)

H. Hukum Ohm

Hukum Ohm merupakan teori dasar dalam metode ERT yang mana arus (I) yang mengalir dalam medium berbanding lurus dengan tegangan (V) dan berbanding terbalik dengan hambatan (R), yang dapat dirumuskan sebagai berikut:

$$R = \frac{V}{I} \quad (2.7)$$

Di mana R adalah hambatan (Ω), sedangkan V adalah beda potensial dan I adalah arus (A). Perambatan titik arus listrik yang diinjeksi pada permukaan bumi dapat dilihat pada Gambar 2.9. Hukum Ohm menjelaskan bahwa hambatan listrik material dinyatakan hambatan jenis (Abdullah, 2016)

I. Nilai Resistivitas Batuan

Setiap batu memiliki karakteristiknya masing-masing, tidak terkecuali dalam hal sifat kelistrikan. Salah satu sifat batuan adalah resistivitasnya (resistansi spesifik) yang menunjukkan kemampuan material tersebut untuk menghantarkan arus listrik. Semakin tinggi nilai resistivitas suatu bahan, semakin sulit bahan tersebut untuk menghantarkan listrik, dan sebaliknya semakin rendah resistivitas suatu batuan, semakin mudah untuk menghantarkan listrik (Prasmewari et al., 2012).

Metode resistivitas adalah metode geofisika untuk menyelidiki struktur bawah permukaan berdasarkan perbedaan resistivitas batuan. Resistivitas batuan bervariasi menurut jenis batuan, porositas, dan kandungan fluida (minyak, air, dan gas) (Timotius et al., 2014). Berikut adalah nilai dari resistivitas suatu batuan:

Tabel 2.1: Nilai resistivitas batuan

Material	Resistivitas (Ωm)
Pirit	$2,9 \times 10^{-5} - 1,5$
Kuarsa	$4 \times 10^{10} - 2 \times 10^{14}$
Kalsit	$1 \times 10^{12} - 1 \times 10^{15}$
Garam batu	$30 - 1 \times 10^{13}$
Granit	200-100.000
Andesit	$1,7 \times 10^2 - 4,5 \times 10^4$
Basal	$10 - 1,3 \times 10^7$
Batugamping	$50 - 10^7$
Batupasir	$1 - 6,4 \times 10^8$
Batu tulis	20-2.000
Pasir	1-1.000
Lempung	1-100
Air tanah	10-100
Air asin	0,2
Aluvium	10-800
Kerikil	100-600

Sumber: (Telford et al., 1990).

J. Rangkaian Listrik

Rangkaian listrik adalah suatu kumpulan elemen atau komponen listrik yang saling dihubungkan dengan cara-cara tertentu dan paling sedikit mempunyai satu lintasan tertutup. Rangkaian listrik terbatas pada elemen atau komponen yang memiliki dua buah terminal atau kutub pada kedua ujungnya. Untuk elemen atau komponen yang lebih dari dua terminal. Komponen listrik dalam suatu rangkaian dapat dikelompokkan menjadi komponen aktif dan komponen pasif. Komponen

aktif adalah komponen yang dapat menghasilkan listrik dalam hal ini sumber arus dan sumber tegangan. Komponen pasif adalah komponen yang tidak dapat menghasilkan energi. Komponen ini dapat dikelompokkan menjadi komponen yang hanya dapat menyerap energi, dalam hal ini hanya terdapat pada komponen listrik yaitu resistor atau lebih sering disebut resistor atau resistor dengan lambang R, dan komponen pasif yang juga dapat menyimpan energi diklasifikasikan menjadi dua, yaitu komponen atau elemen yang menyerap energi di bawah bentuk medan magnet, dalam hal ini induktor atau yang biasa dikenal dengan kumparan, kumparan atau kumparan dengan simbol L, dan komponen pasif yang menyerap energi berupa medan magnet dalam hal ini kapasitor listrik atau sering dikatakan kapasitor dengan lambang C (Ramdani, 2005).

Rangkaian listrik dibagi menjadi dua, yaitu rangkaian seri dan rangkaian paralel. Selain itu ada juga gabungan dari dua jenis rangkaian tersebut yang disebut sebagai rangkaian campuran. Rangkaian listrik seri disusun secara sejajar, sedangkan rangkaian listrik paralel disusun secara bersusun atau bercabang. Sedangkan rangkaian campuran merupakan kombinasi dari rangkaian seri dan paralel. Perbedaan jenis rangkaian listrik ini terletak pada cara merangkainya. Penerapan rangkaian seri dalam kehidupan sehari-hari dapat ditemukan pada lampu senter. Sedangkan sistem kelistrikan pada rumah-rumah adalah contoh penyusunan rangkaian listrik secara paralel.

1. Rangkaian Seri

Rangkaian seri adalah rangkaian listrik yang disusun secara berbaris (Seri).

Rangkaian ini terdiri dari dua atau lebih beban listrik yang dihubungkan ke sumber tegangan melalui satu rangkaian. Dalam rangkaian seperti itu, hanya memiliki satu jalur misalnya dalam rangkaian lampu bohlam dihubungkan secara seri, jika salah satu bohlam rusak maka semua bohlam secara seri tidak menyala (Abdullah, 2017).

Sifat-sifat rangkaian seri yaitu:

- a. Tegangan sumber dibagi dengan jumlah resistor secara seri jika resistansinya sama. Jumlah penurunan tegangan pada sambungan seri dari setiap resistor seri sama dengan tegangan total pada tegangan sumber.
- b. Ketika beban atau bagian dari rangkaian tidak terhubung atau putus maka aliran arus akan berhenti.
- c. Arus yang mengalir pada masing-masing beban adalah sama.
- d. Banyaknya beban listrik yang dihubungkan secara seri, hambatan total dalam rangkaian menyebabkan kenaikan atau penurunan arus yang mengalir pada rangkaian. Arus yang mengalir tergantung berapa besar hambatan beban pada rangkaian (Manurung & Sinambela, 2018).

2. Rangkaian Paralel

Rangkaian paralel adalah rangkaian listrik yang disusun secara berderet (Paralel). Rangkaian paralel adalah rangkaian yang memiliki lebih dari satu jalan untuk mengalirkan arus listrik. Sebagian besar beban listrik pada kendaraan bermotor dihubungkan secara paralel (Abdullah, 2017).

Sifat-sifat rangkaian paralel yaitu:

- a. Sebagian besar resistansi yang dihubungkan dalam rangkaian paralel, jumlah total tahanan dalam rangkaian tersebut mengecil, sehingga total alirannya lebih besar. (Jumlah total tahanan dari rangkaian paralel lebih kecil dari tahanan terkecil dalam rangkaian).
- b. Jika terjadi salah satu cabang resistansi paralel terputus, arus hanya terputus di rangkaian resistansi tersebut. Sirkuit cabang yang lain tetap berfungsi tanpa gangguan oleh sirkuit cabang yang terputus.
- c. Setiap cabang dalam koneksi paralel adalah koneksi individu. Arus di setiap cabang tergantung pada besarnya hambatan cabang.
- d. Tegangan pada setiap beban listrik sama dengan tegangan sumber (Manurung & Sinambela, 2018).

K. Panel Listrik

Panel listrik adalah sebuah perangkat yang berfungsi membagi, menyalurkan dan mendistribusikan tenaga listrik dari pusat listrik ke konsumen. Electrical switchboard atau lebih kita kenal dengan panel listrik, terbentuk berdasarkan susunan komponen listrik yang sengaja disusun dalam sebuah papan control, sehingga dapat memudahkan penggunaannya. Box panel memiliki peranan dan fungsi yang sangat penting karena berfungsi untuk menjaga keamanan saat terjadinya gangguan dalam aliran listrik, selain itu box panel berguna untuk melindungi panel listrik dari kerusakan baik itu sengaja ataupun tidak sengaja. (Saputro, 2015).

Untuk mengalirkan energi listrik dari pusat atau gardu induk step down (GI Step down) ke beban Listrik (konsumen) harus melewati panel daya dan panel distribusi listrik. Panel daya adalah tempat untuk menyalurkan dan mendistribusikan energi listrik dari gardu listrik step down ke panel-panel distribusinya. Sedangkan yang dimaksud panel distribusi (distribution panel) adalah tempat menyalurkan dan mendistribusikan energi listrik dari panel daya ke beban (konsumen) baik untuk instalasi tenaga maupun untuk instalasi penerangan (Baharuddin & Alwi, 2018)

L. *Software Res2Dinv*

Software Res2Dinv adalah *software* yang digunakan untuk menganalisa data geolistrik dari lapangan. Penggunaan perangkat lunak ini mengarah pada interpretasi data bawah permukaan untuk membedakan setiap susunan litologi dari nilai resistivitas. Karena setiap batuan memiliki nilai tahanan jenis yang berbeda, maka semakin tinggi nilai tahanan jenis suatu batuan maka akan semakin sulit untuk arus listrik untuk mengalir. Resistivitas berlawanan dengan konduktivitas, dan ketika nilai resistivitasnya besar maka nilai konduktivitasnya kecil, dan begitu pula sebaliknya (Apriniyadi et al., 2021).

Dalam *Software Res2Dinv* ini tersedia beberapa pilihan yaitu dengan *non-linear finite difference forward modeling and finite element forward modeling* dan bisa digunakan pada konfigurasi wenner, dipole-dipole, pole-pole, equatorial dipole-dipole (*rectangular*) array dan wenner-schlumberger. Selain digunakan dalam pengolahan data pengukuran di permukaan tanah, *software* ini juga dapat digunakan dalam *survei underwater* dan *cross-borehole*. Secara umum dalam hal

inversi modeling, software Res2Dinv terbagi menjadi dua bagian yaitu secara otomatis melakukan inversi dan menghilangkan hasil pengukuran yang tidak sesuai atau yang jauh dari titik datum lainnya. Nilai resistansi ini dihasilkan dari nilai resistivitas semu yang diperoleh selama pengukuran di lapangan, yang kemudian dilakukan inversi dengan menggunakan software Res2Dinv sehingga memperoleh nilai resistivitas yang sebenarnya (Makhrani, 2013).

Tingkat perbedaan antara pengukuran nilai resistivitas material dengan nilai resistivitas material yang sebenarnya ditunjukkan pada Nilai *Root Means Square* (RMS). Semakin tinggi nilai RMS nya maka semakin halus inversinya tetapi akan menyebabkan semakin tidak sesuai dengan kondisi di lapangan yang sebenarnya(Nugraha et al., 2019).

M. Tinjauan Integrasi Keilmuan Penelitian dengan Ayat Al-Qur'an

Dalam penelitian ini manfaat ilmu dalam inovasi baru dapat dianalogikan pada firman Allah Q.S. Ali 'Imran/3: 5 yang berbunyi:

إِنَّ اللَّهَ لَا يَخْفِي عَلَيْهِ شَيْءٌ فِي الْأَرْضِ وَلَا فِي السَّمَاءِ

Terjemahnya:

Sesungguhnya bagi Allah tidak ada satu pun yang tersembunyi di bumi dan tidak (pula) di langit (Kementerian Agama Republik Indonesia, 2010).

Menurut Tafsir Ibnu Katsir (Al-Sheikh, 2003), Allah Swt. Mengabarkan bahwa Dia mengetahui apa yang tersembunyi di langit dan di bumi. Tidak ada sesuatu pun yang ada diantara keduanya yang tersembunyi dari-Nya.

Menurut Tafsir Jalalain (Suyuthi & Al-Mahally, 2016), (sesungguhnya bagi Allah tidak ada satu pun yang tersembunyi) di antara barang wujud ini (baik di bumi

maupun di langit) karena ilmu-Nya terhadap apa yang terdapat di seluruh alam, baik merupakan keseluruhan maupun sebagian-sebagian, dan ini diistimewakan menyebutkannya karena pengindraan dapat melampaunya.

Rancang bangun yang akan dibuat merupakan salah satu bentuk pengaplikasian dari rangkaian seri paralel yang merupakan salah satu bentuk rangkaian listrik yang tertutup sehingga dapat mengalirkan arus listrik. Hal ini dijelaskan dalam beberapa ayat dalam Al-Quran. Namun pada penelitian ini diangkat ayat dalam QS Al-Kahf/18: 40 berikut:

فَعَسَىٰ رَبِّيَ أَنْ يُؤْتِينِنَّ خَيْرًا مِنْ جَنَّاتِكَ وَيُرْسِلَ عَلَيْهَا حُسْبَانًا مِنَ
الْسَّمَاءِ فَتُصْبِحَ صَعِيدًا زَلَّا

Terjemahnya:

Maka mudah-mudahan tuhanku akan memberikan kepadaku (kebun) yang lebih baik dari kebunmu ini dan dia mengirimkan petir dari langit ke kebunmu, sehingga (kebun itu) menjadi tanah yang licin (Kementerian Agama RI, 2014).

Menurut tafsir oleh kementerian agama RI (*Al-Kahf - الكهف | Qur'an Kemenag*, n.d.), Maka mudah-mudahan tuhanku, akan memberikan kepadaku kebun yang lebih baik dari kebunmu sekarang ini; dan janganlah engkau membanggakan kekayaanmu, boleh jadi, dia suatu waktu mengirimkan petir dari langit ke kebunmu, dan memporak porandakan kebunmu sehingga kebun itu menjadi tanah yang licin, dan hilang kesuburan tanahnya, atau airnya menjadi surut meresap ke dalam tanah, maka engkau tidak akan menemukannya lagi, yakni tidak dapat lagi menemukan sumber air yang dapat mengairi kebunmu.

Dalam tafsir diatas dikatakan bahwa petir mengalir ke dalam permukaan bumi, dalam hal ini adanya arus listrik merambat ke dalam permukaan tanah. Dalam penelitian ini juga membahas tentang arus listrik yang dialirkan ke dalam permukaan bumi untuk mendeteksi lapisan - lapisan yang di dalam permukaan bumi. Lapisan - lapisan bumi dijelaskan dalam beberapa ayat dalam Al-Quran. Namun pada penelitian ini ayat yang diangkat dalam Q.S Fatir/38: 27 yang berbunyi:

الَّمْ تَرَ أَنَّ اللَّهَ أَنْزَلَ مِنَ السَّمَاءِ مَاءً فَأَخْرَجَنَا بِهِ ثَمَرٍ مُّخْتَلِفًا الْوُنْهَا^١
وَمِنَ الْجِبَالِ جُدُودٌ بِيَضْ وَحُمُرٌ مُّخْتَلِفُ الْوُنْهَا وَغَرَابِيبُ سُودٌ

Terjemahnya:

Tidakkah engkau melihat bahwa Allah menurunkan air dari langit lalu dengan air itu kami hasilkan buah-buahan yang beraneka macam jenisnya. Dan di antara gunung-gunung itu ada garis-garis putih dan merah yang beraneka macam warnanya dan ada pula yang hitam pekat.

Dalam tafsir An-Nafahat Al-Makkiyah (*Surat Fatir Ayat 27: Arab-Latin Dan Artinya*, n.d.) Allah mengabarkan akan kesempurnaan kuasa-Nya, Allah berkata: Sungguh telah Aku ketahui wahai manusia, bahwa Allahlah yang menurunkan air dari langit yang kemudian pepohonan tersirami; Keluarlah dari pepohonan itu buah-buahan beraneka macam warnanya. Allah menjadikan gunung-gunung sebagai pasak bagi bumi, Allah juga menjadikan hasil tambangan beraneka macam yang menunjukkan kebesaran kuasa Allah dan indahnya apa yang Dia buat; Maha suci Allah dari apa yang melemahkan-Nya di bumi dan di langit. Makhluk-makhluk-Nya diciptakan dengan sebaik-baik rupa, ini menunjukkan kuasa Allah atas makhluk-Nya yang beraneka ragam dari sesuatu yang satu.

Dalam penelitian ini manfaat ilmu dalam berbuat baik dapat dianalogikan pada firman Allah Q.S. Al-Ankabut/29: 9 yang berbunyi:

وَالَّذِينَ أَمْنَوْا وَعَمِلُوا الصَّلِحَاتِ لَنُدْخِلَنَّهُمْ فِي الصَّلِحِينَ

Terjemahnya:

Dan orang-orang yang beriman dan mengerjakan amal saleh benar-benar akan Kami masukkan mereka ke dalam (golongan) orang-orang yang saleh (Kementerian Agama RI, 2014).

Menurut Tafsir Jalalain(Al-Mahalli & As-Suyuti, 1995), (orang-orang yang beriman dan mengerjakan amal yang saleh) maksudnya para nabi dan kekasih-kekasis Allah, Umpamanya kami akan menghimpun mereka bersama-sama dengan para nabi dan para wali.

Menurut Tafsir Ibnu Katsir (Al-Sheikh, 2004) Allah akan mengumpulkanmu bersama orang-orang yang saleh, bukan dengan golongan kedua orang tuamu, sekali pun engkau manusia yang paling terdekat bagi keduanya di dunia. Karena seseorang hanya akan dikumpulkan pada hari kiamat bersama orang-orang yang dicintainya, yaitu cinta karena agama.

Menurut peneliti pada ayat pertama menjelaskan bahwa Allah Maha Mengetahui segala sesuatu, bahwa tidak ada yang Allah sembunyikan selagi manusia masih berusaha dan mencari ilmu tersebut. Sedangkan pada ayat kedua menjelaskan bahwa adanya arus listrik yang mengalir kedalam tanah. Pada ayat ketiga membahas lapisan - lapisan bumi yang dapat dideteksi dengan mengalirkan arus listrik dan menerima respon yang dihasilkan. Sedangkan pada ayat terakhir menjelaskan bahwa jika manusia melakukan sesuatu yang bertujuan untuk membantu orang lain dalam hal ini mengerjakan **amal saleh** maka segala perbuatan

baik yang dilakukan manusia akan dibalas oleh Allah. Seperti halnya rancangan panel geolistrik *multichannel switch* pada penelitian ini yang nantinya akan di pasangkan dengan alat geolistrik resistivitas *twin-probe (G-sound)* GL 4200 memberikan rasa nyaman bagi manusia itu sendiri. Peneliti mengharapkan agar penelitian ini bermanfaat bagi sesama dan bagi dirinya sendiri.



BAB III

METODE PENELITIAN

A. Waktu dan Tempat Penelitian

Waktu dan tempat dilaksanakan penelitian ini yaitu pada bulan September sampai Januari 2022 bertempat di Samata kecamatan Somba opu kabupaten Gowa dan di sekitar tempat pembuangan akhir (TPA) Padang loang kabupaten Barru.

B. Alat dan Bahan Penelitian

Alat dan komponen yang digunakan dalam penelitian ini adalah sebagai berikut:

1. Alat

Alat pembuatan panel *multichannel switch* terdiri dari obeng, solder, bor listrik, dan tang sedangkan alat pengujian yaitu satu set alat geolistrik model *twin-probe (G-Sound) GL 4200* dan multimeter

2. Bahan

Bahan yang digunakan dalam penelitian ini adalah saklar *toggle 192 pcs*, jack banana *8 pcs*, socket banana *4 pcs*, connector CB *8 pin 6 pcs*, kabel secukupnya, capit buaya *24 pcs*, skun connector kabel *24 pcs*, timah solder secukupnya dan akrilik dengan ketebalan *4 mm*.

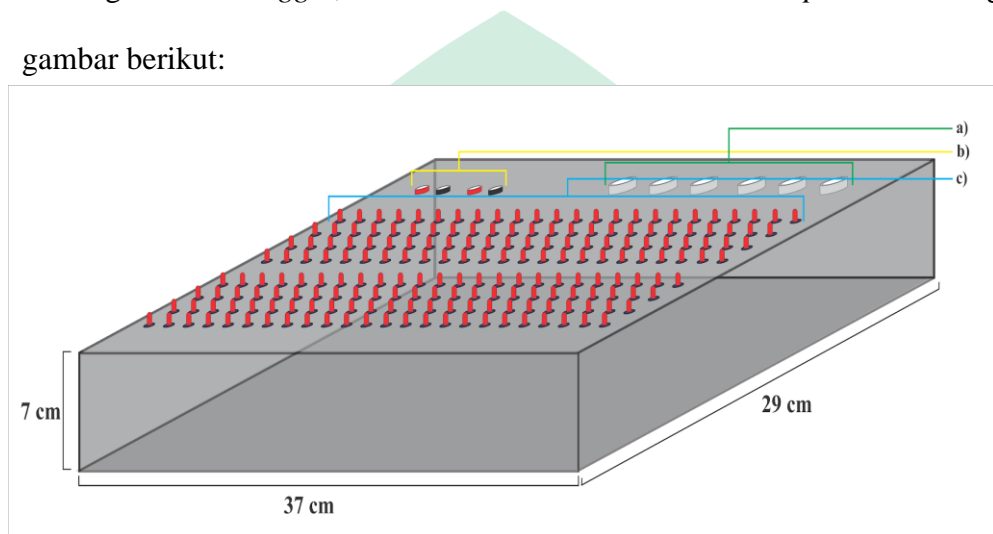
C. Prosedur Penelitian

Prosedur kerja pada penelitian ini dibagi menjadi beberapa tahap sebagai berikut:

1. Tahap Perakitan Panel Geolistrik Multichannel Switch

Berikut langkah-langkah dalam pembuatan rancang bangun ini:

- Membuat desain panel geolistrik *multichannel switch*
- Merangkai saklar *toggle*, *socket banana* dan *connector CB 8 pin* sesuai dengan gambar berikut:

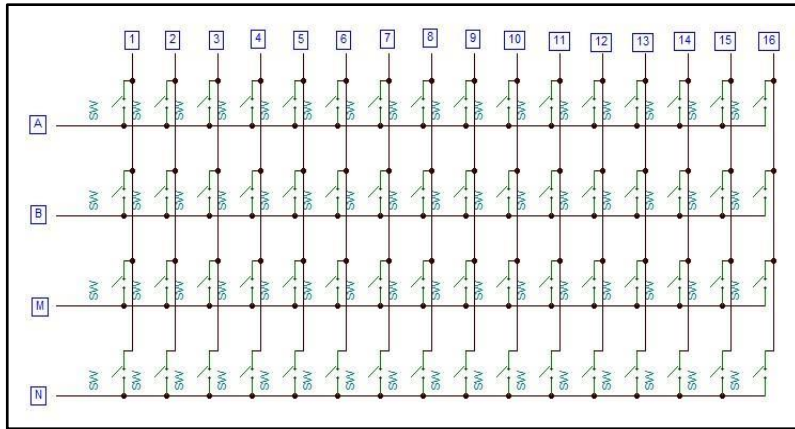


Gambar 3.1: Desain panel geolistrik *multichannel switch*.

Keterangan:

- Connector CB 8 pin*
- Socket Banana*
- Saklar toggle*
- Binding post*

- c. Merangkai aliran listrik seperti gambar di bawah:



Gambar 3.2: Rangkaian listrik rancang bangun panel geolistrik *multichannel*

- d. Memasang isolasi bakar ke sambungan kabel ke *connector CB*.

2. Perakitan Kabel Panel Geolistrik Multichannel Switch

Berikut perkaitan kabel panel geolistrik *multichannel switch*:

1. Perakitan kabel *multichannel*

- Mengukur kabel sesuai dengan panjang keseluruhan dari perhitungan spasi pada panel geolistrik *multichannel switch*.
- Memotong kabel sesuai panjang yang telah ditentukan.
- Menyusun kabel dengan menyejajarkan ujung kabel yang akan dipasangkan *connector CB*.
- Memasang isolasi bakar pada sambungan kabel dengan *connector CB*.
- Memasang *skun connector* pada masing-masing ujung kabel.
- Menyatukan kabel hingga membentuk seperti satu buah kabel.

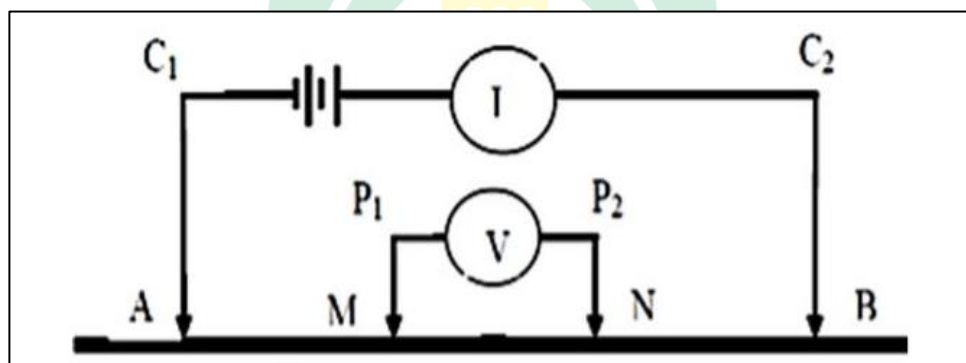
2. Perakitan kabel penghubung elektroda

- Memotong kabel sisa sepanjang 30 cm.
- Memasang capit buaya dan *skun connector* pada masing-masing ujung kabel.

3. Tahap Pengujian

Pengujian dilakukan dengan membandingkan hasil akuisisi data lapangan dengan alat geolistrik *single channel* (versi standar) dengan alat geolistrik *multichannel* (versi rancang bangun). Adapun prosedur pengujian sebagai berikut:

- a. Akuisisi data lapangan dengan alat resistivity meter (versi standar)
 - 1) Mengukur panjang lintasan dengan menggunakan *roll* meter.
 - 2) Memasang elektroda arus dan tegangan sesuai jarak spasi konfigurasi yang digunakan.



Gambar 3.3: Rangkaian elektroda konfigurasi Wenner (Indarto, 2016)

- 3) Menghubungkan kabel arus dan tegangan dengan alat resistivity meter pada masing- masing elektroda.

4) Melakukan proses pengambilan data untuk $n=1$ dan mencatat hasil pengukuran arus dan tegangan pada tabel penelitian seperti yang terlampir di bawah ini:

Tabel 3.1: Tabel akuisisi data lapangan tanpa panel geolistrik *multichannel switch* (*wing electrode 48*)

No	a	n	A (m)	M (m)	N (m)	B (m)	X (m)	K (m)	I (mA)		I rata (mA)	V (mV)		V rata (mV)	ρ_{semu}
									I	II		I	II		
										
3
4
...
n

Keterangan:

x = Datum point

a = Jarak spasi (m)

n = Jumlah lapisan

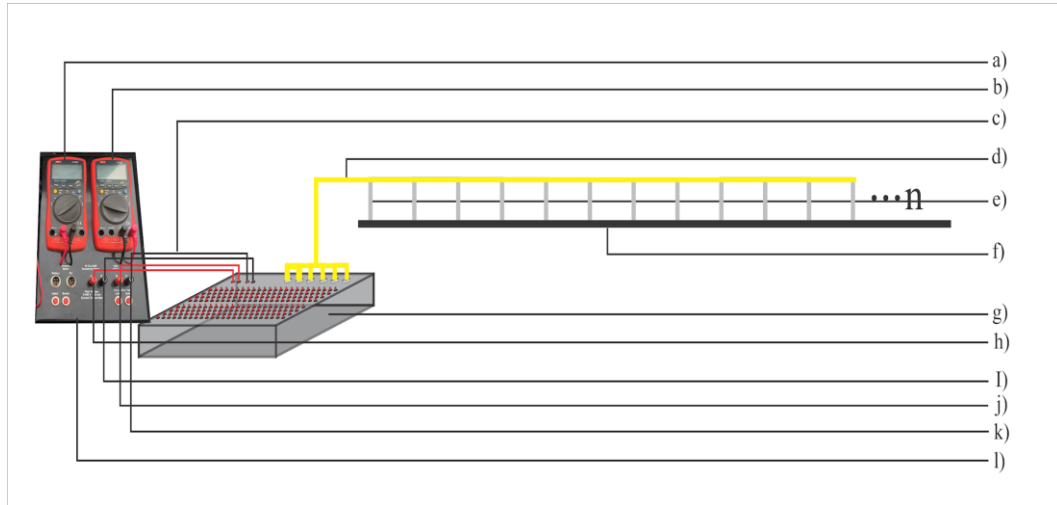
I = Arus injeksi (mA) yang masing - masing diukur sebanyak dua kali yaitu I_1 dan I_2

V = Tegangan (mV) yang masing - masing diukur sebanyak dua kali yaitu I_1 dan I_2

K = Faktor geometri ($K=2\pi a$) dalam m)

5) Mengulang kegiatan 2 sampai 4, untuk n=2 dan n seterusnya.

- b. Akuisisi data lapangan dengan alat resistivity meter *multichannel* (versi rancang bangun alat) **UNIVERSITAS ISLAM NEGERI AL AUDDIN MAKASSAR**
- 1) Mengukur panjang lintasan dengan menggunakan *roll* meter.
 - 2) Memasang elektroda arus dan tegangan sesuai jarak spasi konfigurasi yang digunakan.
 - 3) Menghubungkan kabel arus dan tegangan ke panel geolistrik *multichannel switch*. Kemudian, menghubungkan kabel arus dan tegangan dari panel geolistrik *multichannel switch* ke masing-masing elektroda seperti gambar di bawah ini:



Gambar 3.4: Rangkaian alat geolistrik dengan panel geolistrik *multichannel*

Keterangan:

- a) Voltmeter
- b) Amperemeter
- c) Kabel penghubung A, B, M, dan N dari alat geolistrik ke panel
- d) Kabel *multichannel*
- e) Elektroda
- f) Medium Homogen
- g) Pane geolistrik *multichannel switch (wing electrode 48)*
- h) *Output A (C1)* alat geolistrik model *twin-probe (G-Sound)* GL 4200
- i) *Output B (C2)* alat geolistrik model *twin-probe (G-Sound)* GL 4200
- j) *Output M (P1)* alat geolistrik model *twin-probe (G-Sound)* GL 4200
- k) *Output N (P2)* alat geolistrik model *twin-probe (G-Sound)* GL 4200
- l) Alat geolistrik model *twin-probe (G-Sound)* GL 4200

- 4) Melakukan proses pengambilan data untuk $n=1$ dengan melakukan *switching* pada panel geolistrik *multichannel switch* sesuai dengan konfigurasi yang digunakan dan mencatat hasil pengukuran arus dan tegangan pada tabel penelitian seperti yang terlampir di bawah ini:

Tabel 3.2: Tabel akuisisi data lapangan dengan panel geolistrik *multichannel switch (wing electrode 48)*

No	a	n	A	M	N	B	X	K	I (mA)		I rata (mA)	V (mV)	V rata (mV)	ρ_{Semu}
			(m)	(m)	(m)	(m)	(m)	(m)	I	II				
1
2
3
4
...
n

Keterangan:

x = Datum point

a = Jarak spasi (m)

n = Jumlah lapisan

I = Arus injeksi (mA) yang masing - masing diukur sebanyak dua kali yaitu I_1 dan I_2

V = Tegangan (mV) yang masing - masing diukur sebanyak dua kali yaitu I_1 dan I_2

K = Faktor geometri ($K=2\pi a$) dalam m)

- 5) Mengulangi kegiatan d, untuk $n=2$ dan n seterusnya.

Catatan:

Tabel akuisisi data lapangan tanpa panel geolistrik *multichannel switch* (*wing electrode 48*) pada nilai A, B, M, dan N menggunakan nilai sesuai dengan jarak spasi yang digunakan dalam satuan meter sedangkan Tabel akuisisi data lapangan dengan menggunakan panel geolistrik *multichannel switch* (*wing electrode 48*) pada nilai A, B, M, dan N menggunakan nilai tombol *switch* pada panel. Namun dalam pengolahannya tetap menggunakan jarak spasi elektroda yang digunakan.

4. Tahap Analisis Data

Tahap analisis data pada penelitian ini adalah sebagai berikut:

- e. Data yang diperoleh di lapangan berupa data arus (I) dan tegangan (V), kemudian diinput kedalam tabel yang telah disediakan dalam *software Microsoft Excel 2016*.
- f. Menghitung nilai arus (I) rata - rata dan tegangan (V) rata - rata, kemudian menghitung nilai faktor geometri (K)
- g. Menghitung nilai ρ_{semu} dengan persamaan sebagai berikut:

$$\rho = K \frac{\Delta V}{I} \quad (3.1)$$

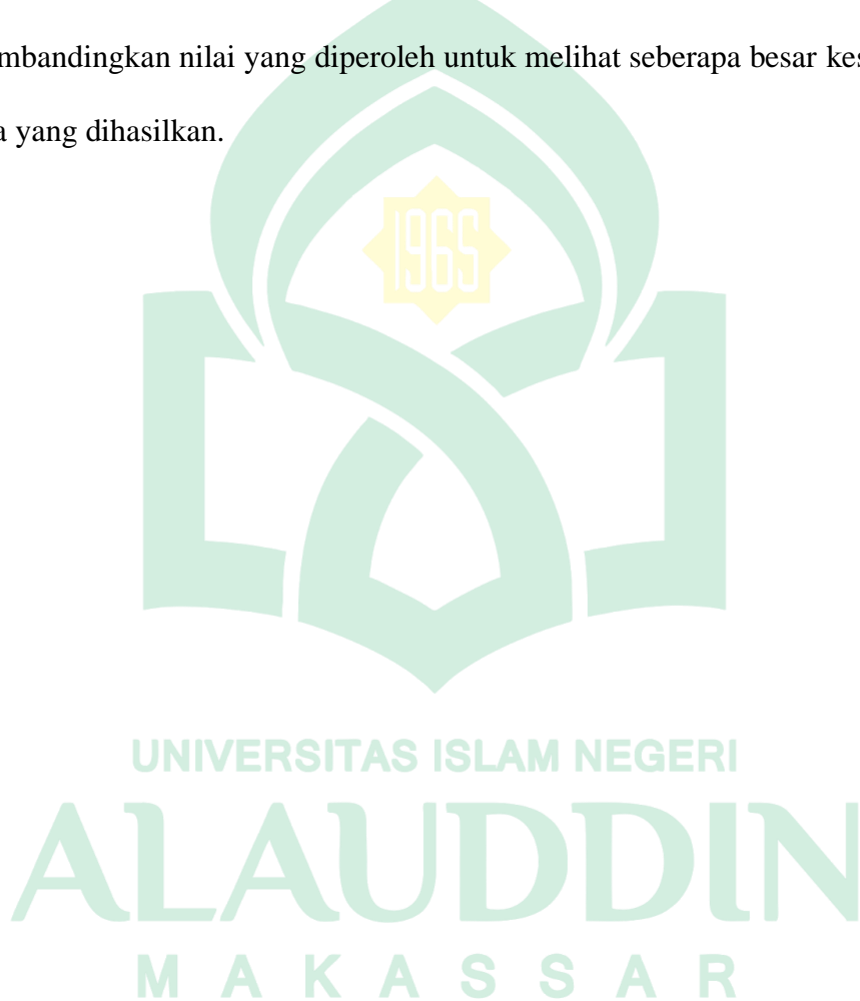
- h. Menghitung selisih nilai ρ_{semu} yang dihasilkan dari akuisisi data tanpa menggunakan panel geolistrik *multichannel switch* (*wing electrode 48*) dan menggunakan panel geolistrik *multichannel switch* (*wing electrode 48*), dengan rumus:

$$selisih\ nilai\ \rho = |\rho_{semu\ tanpa\ panel} - \rho_{semu\ dengan\ panel}| \quad (3.2)$$

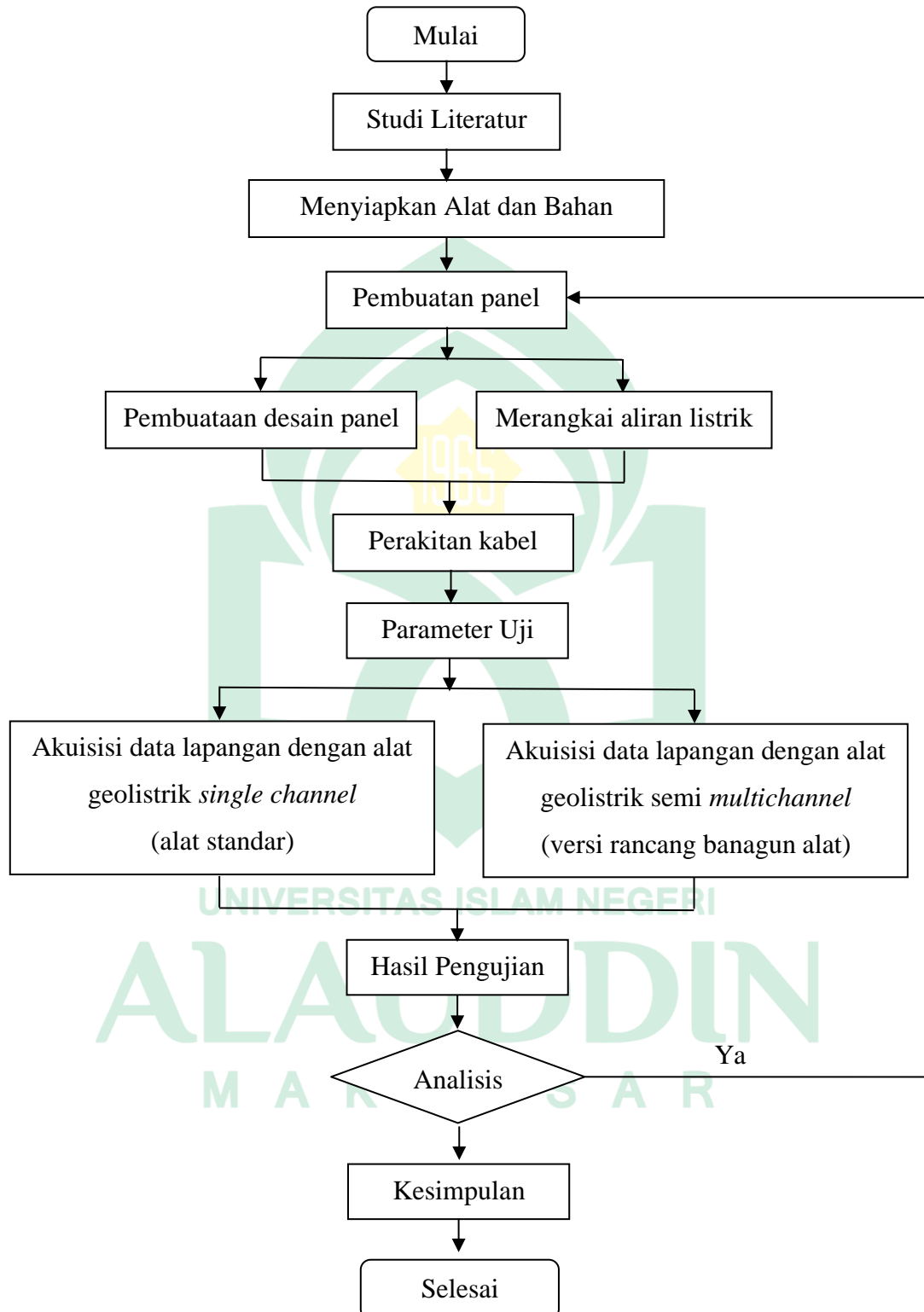
- i. Menghitung % perbedaan nilai ρ_{semu} yang dihasilkan dari akuisisi data tanpa menggunakan panel geolistrik *multichannel switch (wing electrode 48)* dan menggunakan panel geolistrik *multichannel switch (wing electrode 48)*, dengan rumus:

$$\% \text{ perbedaan} = \left| \frac{\rho_{semu \text{ dengan panel}} - \rho_{semu \text{ tanpa panel}}}{\rho_{semu \text{ tanpa panel}}} \right| \times 100 \quad (3.3)$$

- ii. Membandingkan nilai yang diperoleh untuk melihat seberapa besar kesesuaian data yang dihasilkan.



D. Bagan Alir Penelitian



BAB IV

HASIL DAN PEMBAHASAN

A. Hasil Rancang Bangun dan Penggunaan Panel Geolistrik Multichannel

Switch (Wing Electrode 48)

Panel geolistrik *multichannel switch (wing electrode 48)* merupakan sebuah rancangan yang didesain sedemikian rupa sehingga didapatkan suatu rancangan panel *multichannel switch*. Panel ini dipasangkan dengan alat geolistrik *single channel* model *twin-probe (G-Sound)* GL 4200 sehingga menjadi alat geolistrik semi *multichannel* dengan 48 buah elektroda.

Prinsip kerja dari rancangan panel geolistrik *multichannel switch (wing electrode 48)* adalah digunakan saklar *toggle* sebagai *switching* yang kemudian dihubungkan ke elektroda menggunakan kabel yang dirangkai sedemikian rupa dengan *connector CB* dan capit buaya sebagai penghubung untuk mengatur susunan elektroda sesuai konfigurasi yang digunakan dalam akuisisi data lapangan. Digunakan *connector CB* sebanyak 6 pcs sebagai penghubung kabel dari panel ke elektroda karena setiap *connector CB* memiliki 8 pin dengan tujuan sedikit *connector* mampu mencakup banyak *channel* juga penggunaannya lebih praktis dibandingkan dengan satu kabel satu *connector*.

Panel geolistrik *multichannel switch (wing electrode 48)* dibuat dengan jumlah 48 *channel* sesuai dengan spesifikasi alat geolistrik *single channel* model *twin-probe (G-Sound)* GL 4200 yang dapat dikembangkan menjadi pengukuran *multichannel 16, 32, dan 48 channel*. Panel geolistrik *multichannel switch (wing*

electrode 48) didesain sedemikian rupa dalam bentuk kotak yang disesuaikan dengan ukuran *safety box* yang di jual di pasaran untuk pengemasan lebih aman, praktis dan mudah di bawa ke lokasi survei yang memerlukan perjalanan yang cukup jauh.

Adapun spesifikasi panel geolistrik *multichannel switch (wing electrode 48)* adalah sebagai berikut:

- Ukuran Panel geolistrik *multichannel switch (wing electrode 48)*:

Tinggi : 7 cm

Lebar : 29 cm

Panjang : 37 cm

- Ruang rangkaian:

Tinggi : 6 cm

Lebar : 28 cm

panjang : 36 cm

- Body Construction:* Akrilik dengan ketebalan 4 mm.

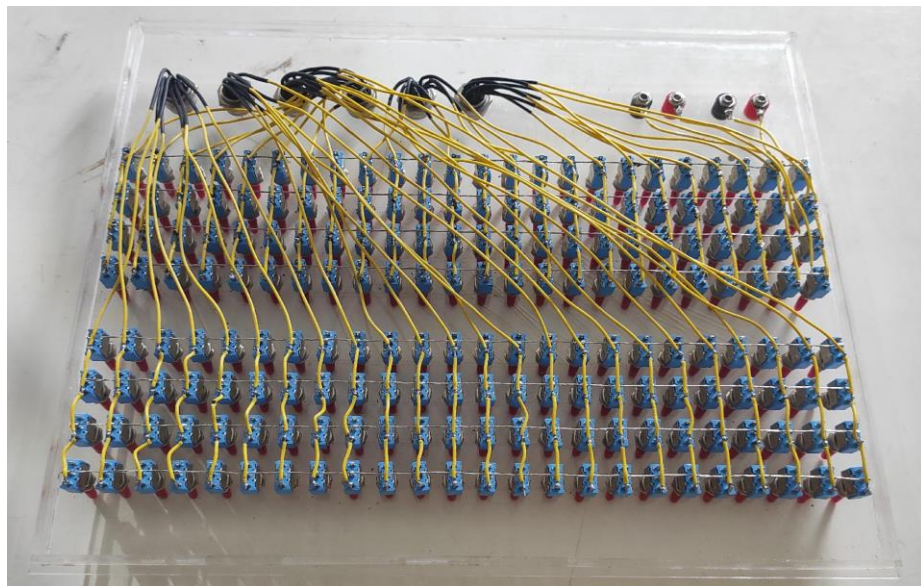
Hasil model rancangan yang telah dibuat dapat ditunjukkan seperti pada gambar 4.1 dan 4.2 sebagai berikut:



Gambar 4.1 Panel geolistrik *multichannel switch (wing electrode 48)* tampak dari atas.

Keterangan:

- a) *Socket banana*
- b) *Connector CB 8 Pin*
- c) *Saklar toggle*



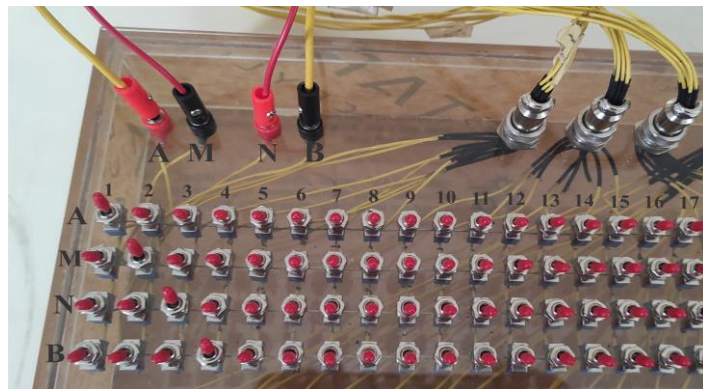
Gambar 4.2 Panel geolistrik *multichannel switch (wing electrode 48)* pada bagian rangkaian (saat kotak dibuka).

Adapun perbedaan panel geolistrik multichannel switch yang dimodifikasi adalah sebagai berikut:

Electrode Expansion 32 Channels	Multichannel Switch (Wing Electrode 48)
<i>32 Channels</i>	<i>48 Channels</i>
<i>Switch menggunakan rotary selector switch</i>	<i>Switch menggunakan saklar toggle</i>
<i>Output ke elektroda menggunakan socket banana</i>	<i>Output ke elektroda menggunakan connector CB 8 pin</i>

Penggunaan panel geolistrik *multichannel switch (wing electrode 48)* dengan menghubungkan *output A(C1), B(C2), M(P1), N(P2)* alat geolistrik model *twin-probe (G-Sound) GL 4200* ke input *A(C1), B(C2), M(P1), N(P2)* panel geolistrik *multichannel switch (wing electrode 48)*. Akuisisi data dengan menggunakan panel ini dilakukan hampir sama dengan akuisisi data lapangan *single channel* pada umumnya yaitu dimulai dengan pengukuran panjang lintasan, pemasangan elektroda arus dan tegangan sesuai spasi dan konfigurasi yang digunakan. Namun yang membedakannya adalah dengan panel geolistrik *multichannel switch (wing electrode 48)* dapat mempermudah akuisisi data lapangan, dimana pemasangan elektroda dan kabel dilakukan sekaligus, kemudian kabel dihubungkan pada panel geolistrik *multichannel switch (wing electrode 48)* yang telah dihubungkan pada alat geolistrik model *twin-probe (G-Sound) GL 4200*.

Akuisisi data lapangan dilakukan dengan melakukan *switching* pada panel geolistrik *multichannel switch (wing electrode 48)*. Pada pengambilan data $n=1$ dilakukan dengan switching pada panel geolistrik panel geolistrik *multichannel switch (wing electrode 48)* sesuai konfigurasi yang digunakan. Misalnya, untuk konfigurasi wenner dengan spasi 5 m, untuk data ke-1 pada $n=1$ dilakukan dengan *switching A1, M2, N3, dan B4* pada panel geolistrik *multichannel switch (wing electrode 48)* seperti pada gambar 4.3 berikut:



Gambar 4.3 Switching A1, M2, N3, dan B4 pada panel geolistrik *multichannel switch (wing electrode 48)*.

Selanjutnya menginjeksikan arus untuk mendapatkan respon tegangan dan mencatat hasil pengukuran arus dan tegangan pada tabel penelitian. Untuk data ke-2 pada $n=1$ dilakukan dengan switching A2, M3, N4, dan B5 pada panel geolistrik *multichannel switch (wing electrode 48)* menginjeksikan arus untuk mendapatkan respon tegangan dan mencatat hasil pengukuran arus dan tegangan pada tabel penelitian dan seterusnya hingga data $n=1$ selesai. Untuk $n=2$ data ke-2 dilakukan dengan *switching A1, M3, N5, dan B7 pada panel geolistrik multichannel switch (wing electrode 48)*. Lalu, menginjeksikan arus untuk mendapatkan respon tegangan dan mencatat hasil pengukuran arus dan tegangan pada tabel penelitian, kemudian untuk data k-2 pada $n=2$ dilakukan dengan *switching A2, M4, N6, dan B8 pada panel geolistrik multichannel switch (wing electrode 48)* menginjeksikan arus untuk mendapatkan respon tegangan dan mencatat hasil pengukuran arus dan tegangan pada tabel penelitian dan seterusnya hingga data $n=2$ selesai. Selanjutnya pada akuisisi data n berikutnya dilakukan hal yang sama dengan melakukan switching pada panel geolistrik *multichannel switch (wing electrode 48)*, sesuai data ke n yang diukur.

B. Hasil pengujian Panel Geolistrik Multichannel Switch (Wing Electrode 48)

1. Perbandingan Resistivitas Semu Hasil Perhitungan Akuisisi Data

Tanpa Menggunakan Panel dengan Menggunakan Panel di TPA Barru

Dari hasil perhitungan akuisisi data tanpa menggunakan panel dan menggunakan panel diperoleh perbandingan resistivitas semu sebagai berikut:

Tabel 4.1 Perbandingan resistivitas semu hasil perhitungan akuisisi data tanpa menggunakan panel dengan menggunakan panel di TPA Barru

No	ρ semu (Ωm) tanpa menggunakan panel	ρ semu (Ωm) menggunakan panel	Selisih ρ semu (Ωm)	% Perbedaan ρ semu (Ωm)
1	38.27751456	91.99095477	53.71344021	140.33
2	42.44243615	41.96777434	0.474661806	1.12
3	38.35585232	57.36187524	19.00602292	49.55
4	42.16081187	31.09597211	11.06483975	26.24
5	40.6991359	65.42276612	24.72363022	60.75
6	44.53988212	34.51799065	10.02189147	22.50
7	31.71840874	514.512471	482.7940622	1522.13
8	32.53375196	72.27235363	39.73860166	122.15
9	25.83158712	65.44613592	39.61454881	153.36
10	26.72862163	58.64250871	31.91388708	119.40
11	24.87978142	79.74043377	54.86065235	220.50
12	30.41875	41.17269891	10.75394891	35.35
13	30.36320755	57.20588691	26.84267936	88.41
14	40.20581304	52.04090027	11.83508723	29.44
15	38.40640875	932.3964383	893.9900295	2327.71
16	45.63023893	58.57589425	12.94565531	28.37
17	45.29554339	33.52674192	11.76880147	25.98
18	42.0623053	43.82840512	1.766099826	4.20
19	39.67729393	29.58822612	10.08906781	25.43
20	25.50031056	1851.919505	1826.419194	7162.34
21	59.86770428	1869.705247	1809.837543	3023.06
22	49.30436817	76.91181467	27.6074465	55.99
23	18.39003115	31.89802708	13.50799593	73.45
24	42.28533333	50.65850446	8.373171122	19.80

No	$\rho_{\text{semu}} (\Omega\text{m})$ tanpa menggunakan panel	$\rho_{\text{semu}} (\Omega\text{m})$ menggunakan panel	Selisih $\rho_{\text{semu}} (\Omega\text{m})$	% Perbedaan $\rho_{\text{semu}} (\Omega\text{m})$
25	34.41734375	98.78979118	64.37244743	187.03
26	35.77060653	63.8979021	28.12729557	78.63
27	35.31277259	56.00030936	20.68753677	58.58
28	32.60297107	121.1021293	88.49915824	271.45
29	35.45082095	51.61344668	16.16262572	45.59
30	35.69190888	35.41627907	0.275629807	0.77
31	33.55370226	43.14763749	9.59393523	28.59
32	37.72412178	28.69331272	9.030809062	23.94
33	43.30190884	39.76600545	3.535903398	8.17
34	46.33786408	23.64457831	22.69328576	48.97
35	43.51265084	62.06863354	18.5559827	42.65
36	50.81024447	1455.907283	1405.097039	2765.38
37	55.54245283	1445.852023	1390.30957	2503.15
38	47.61275272	1396.064352	1348.451599	2832.12
39	49.19251754	217.3258401	168.1333226	341.79
40	38.956282	140.5153041	101.5590221	260.70
41	39.8028169	45.75220418	5.949387275	14.95
42	39.3880422	56.87615741	17.4881152	44.40
43	40.10090658	75.01451424	34.91360766	87.06
44	38.97423888	47.86437403	8.890135158	22.81
45	38.20109077	77.2549323	39.05384153	102.23
46	36.5967366	2880.577057	2843.98032	7771.13
47	30.77640187	78.50606881	47.72966694	155.09
48	32.51053245	113.222205	80.71167258	248.26
49	59.92647634	3543.247204	3483.320728	5812.66
50	60.45962733	3719.785964	3659.326336	6052.51
51	60.27623878	3670.155033	3609.878794	5988.89
52	37.778125	1816.787027	1779.008902	4709.10
53	34.86122125	2004.194184	1969.332963	5649.06
54	35.67626459	3878.064366	3842.388101	10770.15
55	39.11249513	166.771583	127.6590879	326.39
56	35.38924396	2060.421931	2025.032687	5722.17
57	36.06045968	3765.088099	3729.027639	10341.04
58	34.49371606	106.3962934	71.90257738	208.45
59	40.25641026	114.6772079	74.42079761	184.87
60	36.94117647	227.7256262	190.7844497	516.45

No	$\rho_{\text{semu}} (\Omega\text{m})$ tanpa menggunakan panel	$\rho_{\text{semu}} (\Omega\text{m})$ menggunakan panel	Selisih $\rho_{\text{semu}} (\Omega\text{m})$	% Perbedaan $\rho_{\text{semu}} (\Omega\text{m})$
61	29.99220273	165.8365459	135.8443431	452.93
62	28.10116732	123.1491499	95.04798261	338.23
63	27.55460218	183.6523589	156.0977567	566.50
64	28.98271799	86.26506955	57.28235156	197.64
65	32.32711733	83.6564915	51.32937417	158.78
66	27.83514774	95.80030888	67.96516114	244.17
67	27.72734314	2786.852891	2759.125548	9950.92
68	22.66356228	5590.122102	5567.45854	24565.68
69	24.84716835	186.5758327	161.7286643	650.89
70	11.98286604	3443.844384	3431.861518	28639.74
Rata - rata		715.648277	2213.74	

Pengujian pertama yang dilakukan menggunakan konfigurasi Wenner di TPA Barru dengan panjang lintasan 105 meter dengan jarak spasi elektroda 5 meter, diperoleh data arus dan tegangan, kemudian dilakukan analisis data sehingga dihasilkan selisih data resistivitas semu tertinggi mencapai $5567,45 \Omega\text{m}$ dengan selisih data rata - rata resistivitas semu $715,64 \Omega\text{m}$ dan persen perbedaan resistivitas semu tertinggi mencapai $28639,74\%$ dengan rata - rata $2213,74\%$.

Dari perbandingan data yang diperoleh dapat diketahui bahwa rancangan panel geolistrik *multichannel switch (wing electrode 48)* belum berhasil dikarenakan perbandingan data yang diperoleh pada saat pengujian menghasilkan selisih perbedaan data resistivitas semu sangat tinggi juga persen perbedaan yang sangat tinggi, dikarenakan pada rangkaian panel geolistrik *multichannel switch (wing electrode 48)* terjadi korsleting pada saat penginjeksian arus listrik ke dalam permukaan bumi sehingga nilai respon tegangan yang dihasilkan sangat besar, korsleting ini terjadi pada sambungan kabel ke *connector CB 8 Pin* yang saling

berdekatan, sambungan tersebut tidak diberi isolator sehingga pada saat penginjeksian arus listrik terjadi lompatan bunga api listrik dari kabel arus ke kabel tegangan sehingga respon tegangan yang dihasilkan bukan murni dari hasil penginjeksian ke dalam permukaan bumi. Oleh karena itu, panel geolistrik *multichannel switch (wing electrode 48)* ini beserta kabel di reparasi, kemudian dilakukan pengujian kembali.

2. Perbandingan Resistivitas Semu Hasil Perhitungan Akuisisi Data Tanpa Menggunakan Panel dengan Menggunakan Panel di Lapangan Kampus UIN Alauddin Makassar

Dari hasil perhitungan akuisisi data tanpa menggunakan panel dan menggunakan panel diperoleh perbandingan resistivitas semu sebagai berikut:

Tabel 4.2 Perbandingan resistivitas semu hasil perhitungan akuisisi data tanpa menggunakan panel dengan menggunakan panel di lapangan Kampus UIN Alauddin Makassar

No	ρ semu (Ωm) tanpa menggunakan panel	ρ semu (Ωm) menggunakan panel	Selisih ρ semu (Ωm)	% Perbedaan ρ semu (Ωm)
1	163.143202904	171.3754498	8.232246916	5.05
2	174.3002755	174.4842947	0.184019207	0.11
3	178.2021541	178.9826015	0.780447390	0.44
4	181.9872357	183.2709163	1.283680595	0.71
5	178.1551379	172.6630008	5.492137159	3.08
6	174.5147	175.6934835	1.178783548	0.68
7	165.6027397	164.0241838	1.578555929	0.95
8	181.8664596	182.8710557	1.004596080	0.55
9	203.5003897	203.5003897	0.000000000	0.00
10	216.0437842	217.1485536	1.104769351	0.51
11	260.9743191	253.3992218	7.575097276	2.90
12	217.1406371	216.2326483	0.907988827	0.42

No	$\rho_{\text{semu}} (\Omega\text{m})$ tanpa menggunakan panel	$\rho_{\text{semu}} (\Omega\text{m})$ menggunakan panel	Selisih $\rho_{\text{semu}} (\Omega\text{m})$	% Perbedaan $\rho_{\text{semu}} (\Omega\text{m})$
13	257.6503876	256.5327646	1.117622959	0.43
14	209.8224299	203.1332814	6.689148535	3.19
15	222.2696629	222.5177743	0.248111422	0.11
16	230.3559519	226.1482344	4.207717538	1.83
17	232.0869565	232.2355227	0.148566214	0.06
18	269.4903176	267.2651163	2.225201304	0.83
19	254.5284489	252.1552262	2.373222739	0.93
20	115.7317976	116.2385093	0.506711703	0.44
21	116.8722045	123.2331012	6.360896715	5.44
22	120.5	125.8997613	5.399761337	4.48
23	130.1439245	127.3808586	2.763065893	2.12
24	116.7903808	119.8588613	3.068480506	2.63
25	119.6426877	117.8432304	1.799457343	1.50
26	130.2884086	132.2755906	1.987181907	1.53
27	142.0649652	142.9040248	0.839059571	0.59
28	114.0038956	115.8517941	1.847898474	1.62
29	104.5027408	106.0195848	1.516844003	1.45
30	114.5147745	117.4904706	2.975696139	2.60
31	117.2493235	115.3965184	1.852805166	1.58
32	109.1541136	106.5682257	2.585887813	2.37
33	91.03565891	94.23652579	3.200866870	3.52
34	92.74776525	89.92316647	2.824598782	3.05
35	85.30210773	84.66588511	0.636222617	0.75
36	60.15180723	69.83400483	9.682197606	16.10
37	61.55869302	70.51364764	8.954954621	14.55
38	60.70167064	64.00864101	3.306970361	5.45
39	59.87906977	61.04540163	1.166331862	1.95
40	61.54900398	65.03032721	3.481323231	5.66
41	55.32380952	56.88676996	1.562960440	2.83
42	54.27466456	52.93391373	1.340750830	2.47
43	48.81206497	52.17118513	3.359120163	6.88
44	48.30769231	47.26487748	1.042814828	2.16
45	48.16627635	48.95896835	0.792692000	1.65
46	52.21162791	52.29270186	0.081073956	0.16
47	37.88399072	40.82972136	2.945730643	7.78
48	36.31542056	34.82101167	1.494408888	4.12

No	$\rho_{\text{semu}} (\Omega\text{m})$ tanpa menggunakan panel	$\rho_{\text{semu}} (\Omega\text{m})$ menggunakan panel	Selisih $\rho_{\text{semu}} (\Omega\text{m})$	% Perbedaan $\rho_{\text{semu}} (\Omega\text{m})$
49	34.18698225	35.49136578	1.304383529	3.82
50	30.80659429	31.24879615	0.442201857	1.44
51	27.23974763	29.24388319	2.004135555	7.36
52	26.35312747	28.84546516	2.492337687	9.46
53	20.5984	19.60928743	0.989112570	4.80
54	24.35457064	24.85160269	0.497032054	2.04
55	25.23877069	25.73364854	0.494877857	1.96
56	26.24767802	24.26584235	1.981835669	7.55
57	22.53354134	23.00545596	0.471914621	2.09
58	22.82734097	21.32175286	1.505588110	6.60
59	15.15733015	14.55461507	0.602715080	3.98
60	14.43387097	12.94311624	1.490754727	10.33
61	15.00826121	13.56637863	1.441882578	9.61
62	14.6728972	14.02874903	0.644148168	4.39
63	15.68745004	13.15642458	2.531025459	16.13
64	13.74452845	13.10413355	0.640394907	4.66
65	11.95112179	11.95591182	0.004790029	0.04
66	8.188067957	5.931523022	2.256544935	27.56
67	8.353083434	7.756278304	0.596805130	7.14
68	8.921862668	9.646317448	0.724454780	8.12
69	9.608473911	9.597178683	0.011295228	0.12
70	6.181599036	5.270983213	0.910615822	14.73
Rata – rata			0.307552543	0.29

Pengujian kedua dilakukan setelah sambungan kabel ke *connector CB 8 Pin* pada panel geolistrik *multichannel switch (wing electrode 48)* dan pada kabel *multichannel* yang telah buat diberi isolator. Pengujian kedua ini dilakukan di lapangan Kampus UIN Alauddin Makassar menggunakan konfigurasi Wenner dengan panjang lintasan 105 meter dengan jarak spasi elektroda 5 meter, diperoleh data arus dan tegangan, kemudian dilakukan analisis data sehingga dihasilkan selisih data resistivitas semu tertinggi mencapai 9,68 Ωm dengan selisih data rata -

rata resistivitas semu $0,3 \Omega\text{m}$ dan persen perbedaan tertinggi resistivitas semu mencapai 27,56 % dengan rata - rata 0,29 %.

Dari perbandingan data yang diperoleh dapat diketahui bahwa rancangan panel geolistrik *multichannel switch (wing electrode 48)* telah berhasil dikarenakan data hasil pengujian menunjukkan kesamaan pada kedua hasil akuisisi arus dan tegangan yang dilakukan secara manual dan menggunakan panel. Setelah dianalisis diperoleh selisih data yang relatif kecil begitu pula dengan persen perbedaanya.

Dari hasil tersebut terlihat bahwa panel geolistrik *multichannel switch (wing electrode 48)* sangat efektif dikarenakan data hasil pengujian menunjukkan kesamaan pada kedua hasil akuisisi arus dan tegangan yang dilakukan secara manual dan menggunakan panel. Adapun selisih perbedaan yang terjadi disebabkan karena pengaruh pada saat menekan fungsi *hold* pada voltmeter dan amperemeter pada saat akuisisi data di lapangan.

Dapat disimpulkan bahwa penambahan panel geolistrik *multichannel switch (wing electrode 48)* pada alat geolistrik model *twin-probe (G-Sound) GL 4200* sangat efektif, penambahan panel ini menjadikan alat geolistrik *single channel* menjadi alat geolistrik semi *multichannel* yang memberikan keuntungan yang signifikan dibanding dengan alat *single channel*.

BAB V

PENUTUP

A. *Kesimpulan*

Kesimpulan dari penelitian ini adalah:

- a. Penggunaan panel geolistrik *multichannel switch (wing electrode 48)* dengan menghubungkan *output A(C1), B(C2), M(P1), N(P2)* alat geolistrik model *twin-probe (G-Sound) GL 4200* ke *input A(C1), B(C2), M(P1), N(P2)* panel geolistrik *multichannel switch (wing electrode 48)*. Pemasangan elektroda dan kabel dilakukan sekaligus, kemudian kabel dihubungkan pada panel geolistrik *multichannel switch (wing electrode 48)* yang telah dihubungkan pada alat geolistrik model *twin-probe (G-Sound) GL 4200*. Akuisisi data dilakukan dengan melakukan *switching* pada panel geolistrik *multichannel switch* sesuai dengan konfigurasi yang digunakan.
- b. Dari hasil akuisisi data lapangan yang dilakukan secara manual (*single channel*) dan menggunakan panel geolistrik *multichannel switch (wing electrode 48)*. Pada pengujian pertama, diperoleh selisih data resistivitas semu tertinggi mencapai $5567,45 \Omega\text{m}$ dengan rata-rata $715,64 \Omega\text{m}$ dan persen perbedaan resistivitas semu tertinggi mencapai $28639,74\%$ dengan rata - rata $2213,74\%$. Dari hasil tersebut panel geolistrik *multichannel switch (wing electrode 48)* belum berhasil sehingga perlu direparasi. Setelah direparasi dilakukan pengujian kedua, diperoleh selisih data resistivitas semu tertinggi mencapai $9,68 \Omega\text{m}$ dengan rata - rata resistivitas semu $0,3 \Omega\text{m}$ dan persen perbedaan

tertinggi resistivitas mencapai 27,56 % dengan rata-rata 0,29 %. Dari hasil tersebut panel geolistrik *multichannel switch (wing electrode 48)* telah berhasil. Dari perbandingan data yang didapatkan setelah pengujian kedua dapat dilihat bahwa selisih data arus dan tegangan hasil akuisisi data lapangan yang dilakukan secara manual (*single channel*) dan menggunakan panel geolistrik *multichannel switch (wing electrode 48)* sangat efektif. Adapun selisih perbedaan yang terjadi disebabkan karena pengaruh pada saat menekan fungsi *hold* pada voltmeter dan amperemeter pada saat akuisisi data di lapangan.

E. Saran

Saran dari penelitian ini adalah agar penelitian selanjutnya dikembangkan menjadi panel geolistrik *multichannel switch* otomatis atau dikembangkan menjadi alat geolistrik *multichannel*.



DAFTAR PUSTAKA

- Abdullah, M. (2016). *Fisika Dasar I*. Bandung: ITB.
- Abdullah, M. (2017). Fisika Dasar 2. In *Institut Teknologi Bandung*. <https://doi.org/10.4324/9780429279034-1>
- Agusalim. (2015). *Aplikasi Metode Resistivitas Konfigurasi Wenner Untuk Menafsirkan Penyebaran Batuan Situs Purbakala Candi Gambar Wetan Kabupaten Blitar*. *Institut Teknologi Sepuluh Nopember: Surabaya*. 1–46.
- Agussalim, & Rizal, A. S. (2021). Identifikasi Potensi Air Tanah Menggunakan Metode Resistivitas Konfigurasi Schlumberger di Kecamatan Bontorambakabupaten Jeneponto. *Jurnal Fisika Dan Terapannya*, 8, 36–43. <https://doi.org/10.24252/jft.v8i1.21489>
- Al-Kahf - الْكَهْفُ | Qur'an Kemenag*. (n.d.). Retrieved March 2, 2022, from <https://quran.kemenag.go.id/sura/18>
- Al-Mahalli, I. J., & As-Suyuti, I. J. (1995a). *Tafsir Jalalain Jilid 1*. Sinar Baru Algensindo.
- Al-Mahalli, I. J., & As-Suyuti, I. J. (1995b). *Tafsir Jalalain Jilid 2*. Sinar Baru Algensindo.
- Al-Sheikh, D. A. bin M. bin A. bin I. (2003). *Lubaabut Tafsiir Min Ibni Katsiir (Tafsir Ibnu Katsir Jilid 2)*. Pustaka Imam asy-Syafi'i.
- Al-Sheikh, D. A. bin M. bin A. bin I. (2004). *Lubaabut Tafsiir Min Ibni Katsiir (Tafsir Ibnu Katsir Jilid 6)*. Pustaka Imam asy-Syafi'i.
- Apriniyadi, M., Yuda, H. F., & Kurniadi, F. (2021). Analisa Data Geolistrik Untuk Mengetahui Pola Sebaran Akuifer Di Desa Nagrak Kecamatan Gunung Putri Kabupaten Bogor Propinsi Jawa Barat. *Jurnal Penelitian Dan Karya Ilmiah Lembaga Penelitian Universitas Trisakti*, 6(1), 94. <https://doi.org/10.25105/pdk.v6i1.8632>
- Baharuddin, & Alwi. (2018). *Analisis Sistem Kelistrikan Hotel Bumi Asih Jaya di Makassar*.
- Darmawan, S., Harmoko, U., & Widada, S. (2014). Metode Geolistrik Konfigurasi Schlumberger Di Area Panasbumi Desa Diwak Dan Derekan Kecamatan Bergas. *Youngster Physics Journal*, 3(2), 159–164.
- Faleiro, E., Asensio, G., Garcia, D., & Moreno, J. (2019). Wenner Souindings For Apparent Resistivity Measurements at Small Depths Using a Set of Unequal

- Bare Elektrodes: Selected Case Studies. *Energies*, 1–10. <https://doi.org/10.3390/en12040695>
- Fattahliim, F. (2021). *Pendugaan Air Tanah dengan Metode Geolistrik Konfigurasi Schlumberger di Desa Labulia Kecamatan Jonggat Kabupaten Lombok Tengah*. Universitas Muhammadiyah Mataram.
- Febriana, R. K. N., Minarto, E., & Tryono, F. Y. (2017). Identifikasi Sebaran Aliran Air Bawah Tanah (Groundwater) dengan Metode Vertical Electrical Sounding (VES) Konfigurasi Schlumberger di Wilayah Cepu, Blora Jawa Tengah. *Jurnal Sains Dan Seni ITS*, 6(2), 6–10. <https://doi.org/10.12962/j23373520.v6i2.25280>
- Gusmara, H. dkk. (2016). Bahan Ajar Dasar-dasar Ilmu Tanah ITN-100 Universitas Bengkulu Fakultas Pertanian Tim Pengampu. *Jurnal Bahan Ajar*, 7(3), 1–92.
- Hakim, H., & Manrulu, R. H. (2016). Aplikasi Konfigurasi Wenner dalam Menganalisis Jenis Material Bawah Permukaan. *Jurnal Ilmiah Pendidikan Fisika Al-Biruni*, 5(1), 95–103. <https://doi.org/10.24042/jpifalbiruni.v5i1.109>
- Haryani, T., Ramli, M., & Aswad, S. (2021). *Penetuan Kedalam Lapisan Bedrock di Kawasan Reklamasi Kota Makassar Dengan Metode Geolistrik Resistivitas Konfigurasi Wenner-Schlumberger*. 5(1), 1–8. <https://doi.org/10.20956/geocelebes.v5i1.11836>
- Indarto, B. (2016). Rancang Bangun Sistem Pengukuran Resistivitas Geolistrik dengan menggunakan Sumber Arus Konstan. *Jurnal Fisika Dan Aplikasinya*, 12(2), 83. <https://doi.org/10.12962/j24604682.v12i2.1336>
- Kementerian Agama Republik Indonesia. (2010). Al-Qur'an dan Terjemahnya. In *Al-Qur'an dan Terjemahnya*.
- Kementerian Agama RI. (2014). *Al-Quran dan Terjemahnya Edisi Tajwid*. PT. Tiga Serangkai Pustaka Mandiri.
- Lamusu, A. (2021). *Menganalisis struktur lapisan bawah permukaan menggunakan metode geolistrik*. June.
- Loke, D. M. (2000). Electrical imaging surveys for environmental and engineering studies - A practical guide to 2-D and 3-D surveys Copyright. *Cangkat Minden Lorong*, August 200(1999), 61.
- Lordon, A. E. D., Aggingi, C. M., Manga, V. E., Bukalo, N. N., & Beka, E. T. (2017). Geo-Electrical and Borehole Investigation of Groundwater in Some Basalts on the South-Eastern Flank of Mount Cameroon, West Africa. *Journal of Water Resource and Protection*, 09(12), 1526–1546. <https://doi.org/10.4236/jwarp.2017.912097>

- Lowrie, W., & Fichtner, A. (2007). *Fundamentals of geophysics*. Cambridge University Press.
- Makhrani, . (2013). Optimalisasi Desain Parameter Lapangan Untuk Data Resistivitas Pseudo 3D. *Positron*, 3(1), 24–33. <https://doi.org/10.26418/positron.v3i1.5416>
- Manurung, S. R., & Sinambela, M. (2018). Perangkat Pembelajaran Ipa Berbentuk Lks Berbasis Laboratorium. *INPAFI (Inovasi Pembelajaran Fisika)*, 6(1). <https://doi.org/10.24114/inpafi.v6i1.9496>
- Muhammad, A., & Gunawan, H. (2016). *Rancang Bagun Alat Geolistrik Berbasis Pulse - Width Modulation (Pwm)*. V, SNF2016-CIP-143-SNF2016-CIP-146. <https://doi.org/10.21009/0305020127>
- Mutia, S., Akmam, & Amir, H. (2018). *Identifikasi Jenis Batuan Menggunakan Metode Geolistrik Tahanan Jenis Konfigurasi Wenner*. 11(1), 17–24.
- Novia S, E. (2013). Identifikasi Jenis Batuan Menggunakan Metode Geolistrik Tahanan Jenis Konfigurasi Wenner di Universitas Negeri Padang Kampus Air Tawar. *PILLAR OF PHYSICS*, 2(1). <https://doi.org/10.24036/743171074>
- Nugraha, G. S., Marwan, M., & Muhni, A. (2019). Aplikasi Metode Resistivitas 2D untuk Menentukan Intrusi Air Laut di Lambada Lhok Aceh Besar Aceh. *Jurnal Teknosains*, 9(1), 1. <https://doi.org/10.22146/teknosains.34368>
- Nugroho, M. W., Farida A, F. A. N., & Maya, K. (2018). Analisis Struktur Lapisan Bawah Permukaan Dengan Metode Geolistrik Dalam Perencanaan Pondasi. *Jurnal CIVILA*, 3(2), 186. <https://doi.org/10.30736/cvl.v3i2.262>
- Prasmewari, F. W., Ayi, S. B., & Wahyudi, P. (2012). Analisa Resistivitas Batuan Dengan Menggunakan Parameter Dar Zarrouk Dan Konsep Anistropi'. *Jurnal Sains Dan Seni ITS*, 1(1), 1.
- Ramdani, M. (2005). Rangkaian Listrik. In *Sekolah Tinggi Teknologi Bandung*. https://repository.dinus.ac.id/docs/ajar/Rangkaian_Listrik.pdf
- Reynolds, J. M. (1998). *An Introduction to Applied and Environmental Geophysics*. New York : John Wiley & Sons.
- Rozaq, A. (2004). Identifikasi Kedalaman dan Struktur Lapisan Bawah Tanah Candi Jajaghu Berdasarkan Nilai Resistivitas Dengan Menggunakan Metode Geolistrik Konfigurasi Dipole-Dipole. *Universitas Brawijaya*, 1, 1–5.
- Saputro, S. (2015). *Rancangan Bangun Pembuatan Alat Panel Listrik Ats (Automatic Transfer Switch) – Amf (Automatic Main Failure) Sopyan Saputro*. Program Studi Pendidikan Teknik Elektro.

- Sehah, & Aziz, A. N. (2016). Pendugaan Kedalaman Air Tanah Menggunakan Metode Geolistrik Konfigurasi Schlumberger Di Desa Bojongsari, Kecamatan Alian, Kabupaten Kebumen. *Jurnal Neutrino*, 8(2. APRIL), 41. <https://doi.org/10.18860/neu.v8i2.3239>
- Sehah, M., & Ratsanjani, H. (2021). Eksplorasi sumber air tanah bawah perbukitan kapur (karst) menggunakan metode geolistrik resistivitas konfigurasi Schlumberger di desa Darmakradenan kecamatan Ajibarang kabupaten Banyumas. *Jurnal Teras Fisika*, 4(1), 194. <https://doi.org/10.20884/1.jtf.2021.4.1.3863>
- Septyanto, B., Nafian, M., & Dwiningsih, N. I. (2019). Identifikasi Lapisan Batuan Di Daerah Bojongsari, Depok Menggunakan Metode Geolistrik Resistivitas. *Al-Fiziya: Journal of Materials Science, Geophysics, Instrumentation and Theoretical Physics*, 1(2), 7–14. <https://doi.org/10.15408/fiziya.v1i2.9503>
- Suciningtyas, I. K. L. N., Maryanto, S., & Rachmansyah, A. (2013). Sebaran Mataair Panas Blawan-Ijen Berdasarkan Data Geolistrik Resistivitas. *Natural B*, 2(2), 164–171. <https://natural-b.ub.ac.id/index.php/natural-b/article/view/222/186>
- Suprapto, N. (2006). *Uji Konduktivitas Listrik Terhadap Kadar Air Tanah Dermaga Bogor dan Metode Wenner dan Sifat Fisik Tanahnya*. Skripsi. Bogor. Dapartemen Fisika Fakultas Matematika dan Ilmu Pengetahuan IPB.
- Surat Fatir Ayat 27: Arab-Latin dan Artinya*. (n.d.). Retrieved March 2, 2022, from <https://tafsirweb.com/7893-surat-fatir-ayat-27.html>
- Syukri, M. (2020). *Buku Ajar Dasar-Dasar Metode Geolistrik*. Syiah Kuala University Press.
- Telford, W. M., Geldart, L. P., & Sheriff, R. E. (1990). *Applied Geophysics Second Edition*. Cambridge University Press.
- Timotius, ., Putra, Y. S., & Lapanporo, B. P. (2014). Identifikasi Keretakan Beton Menggunakan Metode Geolistrik Resistivitas. *Prisma Fisika*, 2(3), 92–99. <https://jurnal.untan.ac.id/index.php/jpfu/article/view/7624>
- Todd, D. K., & Mays, L. W. (2005). *Groundwater hydrology*. Wiley.
- Vebrianto, S. (2016). *Eksplorasi Metode Geolistrik: Resistivitas, Polarisasi, Terinduksi, dan Potensial Diri*. Universitas Brawijaya (UB Press).
- Widodo, Lapanporo, B. P., & Jumarang, M. I. (2005). Rancang Bangun Alat Geolistrik Berbasis Arduino Mega2560. *Physics Communication*, 2(1), 474–480.

- Wijaya, A., & Kusmiran, A. (2021). Identifikasi Jenis Akuifer Airtanah Menggunakan Vertical Electrical Sounding Konfigurasi Schlumberger. *Jurnal Fisika Dan Terapannya*, 8(1), 10–18. <https://doi.org/10.24252/jft.v8i1.21210>
- Wijaya, A. N. S. (2019). Identifikasi Potensi Mineral di Kecamatan Galang Kabupaten Tolitoli Menggunakan Metode Resistivitas dan Induced Polarization. *Skripsi*.
- Wijaya, A. S. (2015). Aplikasi Metode Geolistrik Resistivitas Konfigurasi Wenner Untuk Menentukan Struktur Tanah di Halaman Belakang SCC ITS Surabaya (Halaman 1 s.d. 5). *Jurnal Fisika Indonesia*, 19(55). <https://jurnal.ugm.ac.id/jfi/article/view/24363>
- Yuliana, E., Tryono, F. Y., & Minarto, E. (2017). Aplikasi Metode Geolistrik Tahanan Jenis Untuk Identifikasi Zona Bidang Gelincir Tanah Longsor Studi Kasus Desa Nglajo Kec. Cepu Kab. Blora. *Jurnal Sains Dan Seni ITS*, 6(2). <https://doi.org/10.12962/j23373520.v6i2.26083>
- Zuhdi, M., & Wachid, A. (2021). Metode Geolistrik Tahanan Jenis untuk Eksplorasi Air Tanah di Gunung Tunak. *Konstan - Jurnal Fisika Dan Pendidikan Fisika*, 6(1), 18–26. <https://doi.org/10.20414/konstan.v6i1.69>



RIWAYAT HIDUP



Muh. Waqiatul Hasan atau teman-teman biasa menyapanya dengan panggilan waqia, lahir di Bulukumba, 28 Agustus 1999. Bertempat tinggal di Bulukumba tepatnya di Kec. Gantarang. Menempuh pendidikan normal selama 12 tahun di jenjang pendidikan bangku sekolah tepatnya SD selama 6 tahun di SDN 206 Bontonyeleng kemudian melanjutkan pendidikan selama 3 tahun di SMP Neg. 9 Bulukumba dan kembali melanjutkan pendidikan di SMA Neg. 1 Bulukumba. Saat di bangku sekolah sangat aktif dengan kegiatan ekstra atau organisasi baik organisasi dalam sekolah maupun organisasi luar sekolah, di SMP menjabat sebagai ketua OSIS selama 1 periode kepemimpinan sekaligus sebagai pimpinan regu utama Pramuka SMP Neg. 9 Bulukumba dan di SMA menjabat sebagai Ketua komisi B MPK SMA Neg. 1 Bulukumba sekaligus Ketua bidang TEKPRAM di Pramuka SMA Neg. 1 Bulukumba, Adapun riwayat organisasi beliau yaitu, OSIS, Pramuka, MPK, serta ikut Pramuka Saka Wanabakti Dinas Kehutanan Bulukumba dan Pramuka Saka Wira Kartika KODIM 1411 Bulukumba. Hobi beliau salah satunya yaitu main game.

Sekarang beliau melanjutkan pendidikan dibangku kuliah tepatnya di jurusan Fisika Fakultas Sains dan Teknologi Universitas Islam Negeri Alauddin Makassar.



UNIVERSITAS ISLAM NEGERI
ALAUDDIN
MAKASSAR



UNIVERSITAS ISLAM NEGERI
ALAUDDIN
MAKASSAR

**a. Akuisisi Data Tanpa Menggunakan Panel Geolistrik Multichannel Switch
(Wing Electrode 48) di TPA Barru**

Tabel 1. Akuisisi data tanpa menggunakan panel geolistrik *multichannel switch*
(*wing electrode 48*) di TPA Barru

No	a	N	A (m)	M (m)	N (m)	B (m)	X (m)	K (m)	I (mA)		I rata (mA)	V (mV)		V rata (mV)	ρ Semu (Ωm)
									I	II		I	II		
1	5	1	0	5	10	15	7.5	31.4	129.2	128.3	128.75	157.6	156.3	156.95	38.27751456
2	5	1	5	10	15	20	12.5	31.4	127.2	127.3	127.25	172	172	172.00	42.44243615
3	5	1	10	15	20	25	17.5	31.4	127.3	127.3	127.30	155	156	155.50	38.35585232
4	5	1	15	20	25	30	22.5	31.4	128.1	128.1	128.10	171	173	172.00	42.16081187
5	5	1	20	25	30	35	27.5	31.4	127.3	127.3	127.30	164	166	165.00	40.6991359
6	5	1	25	30	35	40	32.5	31.4	127.4	127.1	127.25	180	181	180.50	44.53988212
7	5	1	30	35	40	45	37.5	31.4	128.2	128.2	128.20	134	125	129.50	31.71840874
8	5	1	35	40	45	50	42.5	31.4	127.3	127.5	127.40	137	127	132.00	32.53375196
9	5	1	40	45	50	55	47.5	31.4	129.8	127.9	128.85	103	109	106.00	25.83158712
10	5	1	45	50	55	60	52.5	31.4	128.1	128	128.05	109	109	109.00	26.72862163
11	5	1	50	55	60	65	57.5	31.4	128.1	128.1	128.10	97	106	101.50	24.87978142
12	5	1	55	60	65	70	62.5	31.4	128	128	128.00	121	127	124.00	30.41875
13	5	1	60	65	70	75	67.5	31.4	127.2	127.2	127.20	122	124	123.00	30.36320755
14	5	1	65	70	75	80	72.5	31.4	127.4	127.2	127.30	162	164	163.00	40.20581304
15	5	1	70	75	80	85	77.5	31.4	127.9	128	127.95	160	153	156.50	38.40640875
16	5	1	75	80	85	90	82.5	31.4	127.7	127.6	127.65	185	186	185.50	45.63023893
17	5	1	80	85	90	95	87.5	31.4	127.9	127.9	127.90	185	184	184.50	45.29554339
18	5	1	85	90	95	100	92.5	31.4	128.4	128.4	128.40	172	172	172.00	42.0623053
19	5	1	90	95	100	105	97.5	31.4	128.6	128.6	128.60	164	161	162.50	39.67729393
20	10	2	0	10	20	30	15	62.8	128.8	128.8	128.80	45.7	58.9	52.30	25.50031056
21	10	2	5	15	25	35	20	62.8	128.5	128.5	128.50	117.4	127.6	122.50	59.86770428
22	10	2	10	20	30	40	25	62.8	128.3	128.1	128.20	98.8	102.5	100.65	49.30436817
23	10	2	15	25	35	45	30	62.8	128.4	128.4	128.40	30.1	45.1	37.60	18.39003115
24	10	2	20	30	40	50	35	62.8	127.4	127.6	127.50	92.4	79.3	85.85	42.28533333
25	10	2	25	35	45	55	40	62.8	128	128	128.00	75.9	64.4	70.15	34.41734375
26	10	2	30	40	50	60	45	62.8	128.9	128.3	128.60	74.4	72.1	73.25	35.77060653
27	10	2	35	45	55	65	50	62.8	128	128.8	128.40	74.8	69.6	72.20	35.31277259
28	10	2	40	50	60	70	55	62.8	127.9	127.9	127.90	66.9	65.9	66.40	32.60297107
29	10	2	45	55	65	75	60	62.8	127.9	127.9	127.90	76.6	67.8	72.20	35.45082095
30	10	2	50	60	70	80	65	62.8	127.3	127.3	127.30	77.3	67.4	72.35	35.69190888
31	10	2	55	65	75	85	70	62.8	128.3	128.3	128.30	61.4	75.7	68.55	33.55370226

No	a	N	A (m)	M (m)	N (m)	B (m)	X (m)	K (m)	I (mA)		I rata (mA)	V (mV)		V rata (mV)	$\rho_{\text{Semu}} (\Omega \text{m})$
									I	II		I	II		
32	10	2	60	70	80	90	75	62.8	128.1	128.1	128.10	72.5	81.4	76.95	37.72412178
33	10	2	65	75	85	95	80	62.8	128.3	128.4	128.35	90	87	88.50	43.30190884
34	10	2	70	80	90	100	85	62.8	128.2	129.3	128.75	94	96	95.00	46.33786408
35	10	2	75	85	95	105	90	62.8	128.2	128.7	128.45	91	87	89.00	43.51265084
36	15	3	0	15	30	45	22.5	94.2	128.8	128.9	128.85	70	69	69.50	50.81024447
37	15	3	5	20	35	50	27.5	94.2	126.4	128	127.20	74	76	75.00	55.54245283
38	15	3	10	25	40	55	32.5	94.2	128.6	128.6	128.60	61	69	65.00	47.61275272
39	15	3	15	30	45	60	37.5	94.2	128.3	128.3	128.30	68	66	67.00	49.19251754
40	15	3	20	35	50	65	42.5	94.2	127.3	126.6	126.95	53	52	52.50	38.956282
41	15	3	25	40	55	70	47.5	94.2	127.8	127.8	127.80	53	55	54.00	39.8028169
42	15	3	30	45	60	75	52.5	94.2	128	127.9	127.95	55	52	53.50	39.3880422
43	15	3	35	50	65	80	57.5	94.2	126.9	126.8	126.85	50	58	54.00	40.10090658
44	15	3	40	55	70	85	62.5	94.2	128.1	128.1	128.10	51	55	53.00	38.97423888
45	15	3	45	60	75	90	67.5	94.2	128.5	128.2	128.35	53.7	50.4	52.05	38.20109077
46	15	3	50	65	80	95	72.5	94.2	128.7	128.7	128.70	50.5	49.5	50.00	36.5967366
47	15	3	55	70	85	100	77.5	94.2	128.1	128.7	128.40	39.6	44.3	41.95	30.77640187
48	15	3	60	75	90	105	82.5	94.2	128.9	128.4	128.65	44.7	44.1	44.40	32.51053245
49	20	4	0	20	40	60	30	125.6	127.7	128	127.85	69	53	61.00	59.92647634
50	20	4	5	25	45	65	35	125.6	128.8	128.8	128.80	65	59	62.00	60.45962733
51	20	4	10	30	50	70	40	125.6	128.2	128.1	128.15	62	61	61.50	60.27623878
52	20	4	15	35	55	75	45	125.6	128	128	128.00	38	39	38.50	37.778125
53	20	4	20	40	60	80	50	125.6	126.2	126	126.10	35	35	35.00	34.86122125
54	20	4	25	45	65	85	55	125.6	128.5	128.5	128.50	37	36	36.50	35.67626459
55	20	4	30	50	70	90	60	125.6	128.5	128.4	128.45	39	41	40.00	39.11249513
56	20	4	35	55	75	95	65	125.6	128.3	128.3	128.30	37.2	35.1	36.15	35.38924396
57	20	4	40	60	80	100	70	125.6	128.4	128.3	128.35	36.3	37.4	36.85	36.06045968
58	20	4	45	65	85	105	75	125.6	128.9	128.9	128.90	33.6	37.2	35.40	34.49371606
59	25	5	0	25	50	75	37.5	157	128.5	128.9	128.70	33	33	33.00	40.25641026
60	25	5	5	30	55	80	42.5	157	127.5	127.5	127.50	30	30	30.00	36.94117647
61	25	5	10	35	60	85	47.5	157	128	128.5	128.25	24	25	24.50	29.99220273
62	25	5	15	40	65	90	52.5	157	128.5	128.5	128.50	22	24	23.00	28.10116732
63	25	5	20	45	70	95	57.5	157	128.2	128.2	128.20	23	22	22.50	27.55460218
64	25	5	25	50	75	100	62.5	157	128.3	126.3	127.30	24	23	23.50	28.98271799
65	25	5	30	55	80	105	67.5	157	128.8	128.6	128.70	27	26	26.50	32.32711733
66	30	6	0	30	60	90	45	188.4	128.3	128.9	128.60	19	19	19.00	27.83514774
67	30	6	5	35	65	95	50	188.4	129.1	129.1	129.10	19	19	19.00	27.72734314

No	a	N	A (m)	M (m)	N (m)	B (m)	X (m)	K (m)	I (mA)		I rata (mA)	V (mV)		ρ Semu (Ωm)	
									I	II		I	II		
68	30	6	10	40	70	100	55	188.4	128.9	128.8	128.85	14	17	15.50	22.66356228
69	30	6	15	45	75	105	60	188.4	128.9	128.9	128.90	19	15	17.00	24.84716835
70	35	7	0	35	70	105	52.5	219.8	127.5	129.3	128.40	7	7	7.00	11.98286604

b. Akuisisi Data dengan Menggunakan Panel Geolistrik Multichannel Switch

(Wing Electrode 48) di TPA Barru

Tabel 2. Akuisisi data dengan menggunakan panel geolistrik *multichannel switch*

(wing electrode 48) di TPA Barru

No	a	n	A (m)	M (m)	N (m)	B (m)	X (m)	K (m)	I (mA)		I rata (mA)	V (mV)		ρ Semu (Ωm)	
									I	II		I	II		
1	5	1	1	2	3	4	7.5	31.4	129.3	129.4	129.35	387.8	370.1	378.95	91.99095477
2	5	1	2	3	4	5	12.5	31.4	129.4	129.4	129.40	168.1	177.8	172.95	41.96777434
3	5	1	3	4	5	6	17.5	31.4	129.1	129	129.05	264.0	207.5	235.75	57.36187524
4	5	1	4	5	6	7	22.5	31.4	128.9	129.3	129.10	159.2	96.5	127.85	31.09597211
5	5	1	5	6	7	8	27.5	31.4	128.7	128.7	128.70	271.7	264.6	268.15	65.42276612
6	5	1	6	7	8	9	32.5	31.4	128.9	127.9	128.40	160.6	121.7	141.15	34.51799065
7	5	1	7	8	9	10	37.5	31.4	129.2	129	129.10	377.8	3853	2115.40	514.512471
8	5	1	8	9	10	11	42.5	31.4	129	128.9	128.95	298.5	295.1	296.80	72.27235363
9	5	1	9	10	11	12	47.5	31.4	128.4	129.1	128.75	301.9	234.8	268.35	65.44613592
10	5	1	10	11	12	13	52.5	31.4	129.1	129.2	129.15	288.2	194.2	241.20	58.64250871
11	5	1	11	12	13	14	57.5	31.4	128.9	129.3	129.10	396.7	259	327.85	79.74043377
12	5	1	12	13	14	15	62.5	31.4	128.3	128.1	128.20	221.0	115.2	168.10	41.17269891
13	5	1	13	14	15	16	67.5	31.4	129.1	129.1	129.10	267.9	202.5	235.20	57.20588691
14	5	1	14	15	16	17	72.5	31.4	128.8	128.9	128.85	226.2	200.9	213.55	52.04090027
15	5	1	15	16	17	18	77.5	31.4	129.2	129.1	129.15	3860	3810	3835.00	932.3964383
16	5	1	16	17	18	19	82.5	31.4	128.6	128.6	128.60	268.2	211.6	239.90	58.57589425
17	5	1	17	18	19	20	87.5	31.4	128.1	128.8	128.45	164.5	109.8	137.15	33.52674192
18	5	1	18	19	20	21	92.5	31.4	128.4	129.3	128.85	155.5	204.2	179.85	43.82840512
19	5	1	19	20	21	22	97.5	31.4	128.1	128.4	128.25	150.3	91.4	120.85	29.58822612
20	10	2	1	3	5	7	15	62.8	129.1	129.3	129.20	3854	3766	3810.00	1851.919505
21	10	2	2	4	6	8	20	62.8	129.6	129.6	129.60	3893	3824	3858.50	1869.705247
22	10	2	3	5	7	9	25	62.8	129.4	129.6	129.50	210.3	106.9	158.60	76.91181467
23	10	2	4	6	8	10	30	62.8	129.4	129.1	129.25	72.4	58.9	65.65	31.89802708
24	10	2	5	7	9	11	35	62.8	129	129.1	129.05	90.8	117.4	104.10	50.65850446

No	a	n	A (m)	M (m)	N (m)	B (m)	X (m)	K (m)	I (mA)		I rata (mA)	V (mV)		V rata (mV)	ρ Semu (Ωm)
									I	II		I	II		
25	10	2	6	8	10	12	40	62.8	129.4	129.2	129.30	205.6	201.2	203.40	98.78979118
26	10	2	7	9	11	13	45	62.8	128.1	129.3	128.70	110	151.9	130.95	63.8979021
27	10	2	8	10	12	14	50	62.8	129.3	129.3	129.30	118.7	111.9	115.30	56.00030936
28	10	2	9	11	13	15	55	62.8	129.3	129	129.15	285.6	212.5	249.05	121.1021293
29	10	2	10	12	14	16	60	62.8	129.3	129.5	129.40	105.8	106.9	106.35	51.61344668
30	10	2	11	13	15	17	65	62.8	128.6	129.4	129.00	70.5	75	72.75	35.41627907
31	10	2	12	14	16	18	70	62.8	129.4	128.8	129.10	104.9	72.5	88.70	43.14763749
32	10	2	13	15	17	19	75	62.8	129.4	129.3	129.35	61.9	56.3	59.10	28.69331272
33	10	2	14	16	18	20	80	62.8	129	128.1	128.55	63.4	99.4	81.40	39.76600545
34	10	2	15	17	19	21	85	62.8	199	199.4	199.20	73.2	76.8	75.00	23.64457831
35	10	2	16	18	20	22	90	62.8	128.8	128.8	128.80	114.4	140.2	127.30	62.06863354
36	15	3	1	4	7	10	22.5	94.2	129.8	129.7	129.75	153.7	3857	2005.35	1455.907283
37	15	3	2	5	8	11	27.5	94.2	129.8	129.7	129.75	135	3848	1991.50	1445.852023
38	15	3	3	6	9	12	32.5	94.2	129.6	129.6	129.60	90.4	3751	1920.70	1396.064352
39	15	3	4	7	10	13	37.5	94.2	129.6	129.3	129.45	362.4	234.9	298.65	217.3258401
40	15	3	5	8	11	14	42.5	94.2	129	129.1	129.05	247	138	192.50	140.5153041
41	15	3	6	9	12	15	47.5	94.2	129.3	129.3	129.30	53.4	72.2	62.80	45.75220418
42	15	3	7	10	13	16	52.5	94.2	129.4	129.8	129.60	88	68.5	78.25	56.87615741
43	15	3	8	11	14	17	57.5	94.2	128.3	128	128.15	140	64.1	102.05	75.01451424
44	15	3	9	12	15	18	62.5	94.2	129.4	129.4	129.40	59.5	72	65.75	47.86437403
45	15	3	10	13	16	19	67.5	94.2	129.5	129	129.25	140	72	106.00	77.2549323
46	15	3	11	14	17	20	72.5	94.2	129.3	129.6	129.45	3968	3949	3958.50	2880.577057
47	15	3	12	15	18	21	77.5	94.2	129.4	129.3	129.35	105.5	110.1	107.80	78.50606881
48	15	3	13	16	19	22	82.5	94.2	129.3	129.2	129.25	197.9	112.8	155.35	113.222205
49	20	4	1	5	9	13	30	125.6	129.7	129.6	129.65	3734	3581	3657.50	3543.247204
50	20	4	2	6	10	14	35	125.6	128.6	129.3	128.95	3792	3846	3819.00	3719.785964
51	20	4	3	7	11	15	40	125.6	129.6	129.7	129.65	3998	3579	3788.50	3670.155033
52	20	4	4	8	12	16	45	125.6	129.5	129.5	129.50	36.4	3710	1873.20	1816.787027
53	20	4	5	9	13	17	50	125.6	128.9	129	128.95	71.3	4044	2057.65	2004.194184
54	20	4	6	10	14	18	55	125.6	128.7	129.2	128.95	4002	3961	3981.50	3878.064366
55	20	4	7	11	15	19	60	125.6	129.5	129.5	129.50	176.2	167.7	171.95	166.771583
56	20	4	8	12	16	20	65	125.6	129.5	129.5	129.50	329.8	3919	2124.40	2060.421931
57	20	4	9	13	17	21	70	125.6	129.4	129.4	129.40	3938	3820	3879.00	3765.088099
58	20	4	10	14	18	22	75	125.6	129.5	129.5	129.50	90.6	128.8	109.70	106.3962934
59	25	5	1	6	11	16	37.5	157	129.8	129.5	129.65	85.2	104.2	94.70	114.6772079
60	25	5	2	7	12	17	42.5	157	129.8	129.7	129.75	185	191.4	188.20	227.7256262

No	a	n	A (m)	M (m)	N (m)	B (m)	X (m)	K (m)	I (mA)		I rata (mA)	V (mV)		V rata (mV)	ρ Semu (Ωm)
									I	II		I	II		
61	25	5	3	8	13	18	47.5	157	129.7	129.7	129.70	151.6	122.4	137.00	165.8365459
62	25	5	4	9	14	19	52.5	157	129.4	129.4	129.40	118.7	84.3	101.50	123.1491499
63	25	5	5	10	15	20	57.5	157	129.3	129.3	129.30	192.2	110.3	151.25	183.6523589
64	25	5	6	11	16	21	62.5	157	129.4	129.4	129.40	55.4	86.8	71.10	86.26506955
65	25	5	7	12	17	22	67.5	157	129.4	129.4	129.40	81.2	56.7	68.95	83.6564915
66	30	6	1	7	13	19	45	188.4	129.5	129.5	129.50	59.1	72.6	65.85	95.80030888
67	30	6	2	8	14	20	50	188.4	129.6	129.8	129.70	62.1	3775	1918.55	2786.852891
68	30	6	3	9	15	21	55	188.4	129.7	129.1	129.40	4040	3639	3839.50	5590.122102
69	30	6	4	10	16	22	60	188.4	128.7	129.5	129.10	181.2	74.5	127.85	186.5758327
70	35	7	1	8	15	22	52.5	219.8	129.4	129.7	129.55	50.6	4009	2029.80	3443.844384

c. Akuisisi Data Tanpa Menggunakan Panel Geolistrik Multichannel Switch

(Wing Electrode 48) di Lapangan Kampus UIN Alauddin Makassar

Tabel 3. Akuisisi data tanpa menggunakan panel geolistrik *multichannel switch*

(wing electrode 48) di lapangan Kampus UIN Alauddin Makassar

No	a	n	A (m)	M (m)	N (m)	B (m)	X (m)	K (m)	I (mA)		I rata (mA)	V (mV)		V rata (mV)	ρ Semu (Ωm)
									I	II		I	II		
1	5	1	0	5	10	15	7.5	31.4	124	123.9	123.95	672	616	644.00	163.1432029
2	5	1	5	10	15	20	12.5	31.4	109.1	108.7	108.90	605	604	604.50	174.3002755
3	5	1	10	15	20	25	17.5	31.4	120.8	120.6	120.70	689	681	685.00	178.2021541
4	5	1	15	20	25	30	22.5	31.4	125.3	125.4	125.35	722	731	726.50	181.9872357
5	5	1	20	25	30	35	27.5	31.4	125.6	124.5	125.05	715	704	709.50	178.1551379
6	5	1	25	30	35	40	32.5	31.4	124.2	124.1	124.15	695	685	690.00	174.5147
7	5	1	30	35	40	45	37.5	31.4	124	124.2	124.10	654	655	654.50	165.6027397
8	5	1	35	40	45	50	42.5	31.4	128.8	128.8	128.80	745	747	746.00	181.8664596
9	5	1	40	45	50	55	47.5	31.4	128.3	128.3	128.30	828	835	831.50	203.5003897
10	5	1	45	50	55	60	52.5	31.4	127.9	127.9	127.90	885	875	880.00	216.0437842
11	5	1	50	55	60	65	57.5	31.4	128.5	128.5	128.50	1039	1097	1068.00	260.9743191
12	5	1	55	60	65	70	62.5	31.4	128.9	128.5	128.70	891	889	890.00	217.1406371
13	5	1	60	65	70	75	67.5	31.4	129	129	129.00	1061	1056	1058.50	257.6503876
14	5	1	65	70	75	80	72.5	31.4	128.7	128.1	128.40	859	857	858.00	209.8224299
15	5	1	70	75	80	85	77.5	31.4	129	129.1	129.05	913	914	913.50	222.2696629
16	5	1	75	80	85	90	82.5	31.4	128.9	129	128.95	949	943	946.00	230.3559519

N o	a	n	A (m)	M (m)	N (m)	B (m)	X (m)	K (m)	I (mA)		I rata (mA)	V (mV)		V rata (mV)	ρ Semu (Ωm)
									I	II		I	II		
17	5	1	80	85	90	95	87.5	31.4	128.8	128.8	128.80	953	951	952.00	232.0869565
18	5	1	85	90	95	100	92.5	31.4	129.1	129.1	129.10	1109	1107	1108.00	269.4903176
19	5	1	90	95	100	105	97.5	31.4	128.3	128.3	128.30	1039	1041	1040.00	254.5284489
20	10	2	0	10	20	30	15	62.8	121.6	121.5	121.55	227	221	224.00	115.7317976
21	10	2	5	15	25	35	20	62.8	125.3	125.1	125.20	224	242	233.00	116.8722045
22	10	2	10	20	30	40	25	62.8	125.6	125.6	125.60	247	235	241.00	120.5
23	10	2	15	25	35	45	30	62.8	127.2	127.1	127.15	270	257	263.50	130.1439245
24	10	2	20	30	40	50	35	62.8	124.8	124.7	124.75	235	229	232.00	116.7903808
25	10	2	25	35	45	55	40	62.8	126.5	126.5	126.50	242	240	241.00	119.6426877
26	10	2	30	40	50	60	45	62.8	127.3	127.2	127.25	268	260	264.00	130.2884086
27	10	2	35	45	55	65	50	62.8	129.3	129.3	129.30	295	290	292.50	142.0649652
28	10	2	40	50	60	70	55	62.8	128.4	128.3	128.35	229	237	233.00	114.0038956
29	10	2	45	55	65	75	60	62.8	127.7	127.7	127.70	214	211	212.50	104.5027408
30	10	2	50	60	70	80	65	62.8	128.6	128.6	128.60	237	232	234.50	114.5147745
31	10	2	55	65	75	85	70	62.8	129.4	129.3	129.35	243	240	241.50	117.2493235
32	10	2	60	70	80	90	75	62.8	129.4	129.5	129.45	219	231	225.00	109.1541136
33	10	2	65	75	85	95	80	62.8	129	129	129.00	192	182	187.00	91.03565891
34	10	2	70	80	90	100	85	62.8	128.9	128.4	128.65	192	188	190.00	92.74776525
35	10	2	75	85	95	105	90	62.8	128.1	128.1	128.10	174	174	174.00	85.30210773
36	15	3	0	15	30	45	22.5	94.2	124.4	124.6	124.50	79	80	79.50	60.15180723
37	15	3	5	20	35	50	27.5	94.2	124.1	123.8	123.95	89	73	81.00	61.55869302
38	15	3	10	25	40	55	32.5	94.2	124.1	127.3	125.70	79	83	81.00	60.70167064
39	15	3	15	30	45	60	37.5	94.2	129	129	129.00	84	80	82.00	59.87906977
40	15	3	20	35	50	65	42.5	94.2	125.6	125.4	125.50	85	79	82.00	61.54900398
41	15	3	25	40	55	70	47.5	94.2	126	126	126.00	78	70	74.00	55.32380952
42	15	3	30	45	60	75	52.5	94.2	126.7	126.7	126.70	72	74	73.00	54.27466456
43	15	3	35	50	65	80	57.5	94.2	129.3	129.3	129.30	68	66	67.00	48.81206497
44	15	3	40	55	70	85	62.5	94.2	128.7	128.7	128.70	66	66	66.00	48.30769231
45	15	3	45	60	75	90	67.5	94.2	128.1	128.1	128.10	66	65	65.50	48.16627635
46	15	3	50	65	80	95	72.5	94.2	129	129	129.00	70	73	71.50	52.21162791
47	15	3	55	70	85	100	77.5	94.2	129.3	129.3	129.30	54	50	52.00	37.88399072
48	15	3	60	75	90	105	82.5	94.2	128.4	128.4	128.40	50	49	49.50	36.31542056
49	20	4	0	20	40	60	30	125.6	126.7	126.8	126.75	35	34	34.50	34.18698225
50	20	4	5	25	45	65	35	125.6	124.4	124.3	124.35	32	29	30.50	30.80659429
51	20	4	10	30	50	70	40	125.6	126.8	126.8	126.80	30	25	27.50	27.23974763
52	20	4	15	35	55	75	45	125.6	128.3	124.3	126.30	26	27	26.50	26.35312747

No	a	n	A (m)	M (m)	N (m)	B (m)	X (m)	K (m)	I (mA)		I rata (mA)	V (mV)		ρ Semu (Ωm)	
									I	II		I	II		
53	20	4	20	40	60	80	50	125.6	125	125	125.00	22	19	20.50	20.5984
54	20	4	25	45	65	85	55	125.6	126.4	126.3	126.35	26	23	24.50	24.35457064
55	20	4	30	50	70	90	60	125.6	126.9	126.9	126.90	25	26	25.50	25.23877069
56	20	4	35	55	75	95	65	125.6	129.2	129.2	129.20	27	27	27.00	26.24767802
57	20	4	40	60	80	100	70	125.6	128.2	128.2	128.20	23	23	23.00	22.53354134
58	20	4	45	65	85	105	75	125.6	126.6	126.5	126.55	23	23	23.00	22.82734097
59	25	5	0	25	50	75	37.5	157	125.8	125.9	125.85	12.3	12	12.15	15.15733015
60	25	5	5	30	55	80	42.5	157	124	124	124.00	11.8	11	11.40	14.43387097
61	25	5	10	35	60	85	47.5	157	127.1	127.1	127.10	12.3	12	12.15	15.00826121
62	25	5	15	40	65	90	52.5	157	128.4	128.4	128.40	12	12	12.00	14.6728972
63	25	5	20	45	70	95	57.5	157	125.1	125.1	125.10	14	11	12.50	15.68745004
64	25	5	25	50	75	100	62.5	157	125.7	125.6	125.65	12	10	11.00	13.74452845
65	25	5	30	55	80	105	67.5	157	124.9	124.7	124.80	11	8	9.50	11.95112179
66	30	6	0	30	60	90	45	188.4	126.6	126.5	126.55	6	5	5.50	8.188067957
67	30	6	5	35	65	95	50	188.4	124.1	124	124.05	6	5	5.50	8.353083434
68	30	6	10	40	70	100	55	188.4	126.7	126.7	126.70	7	5	6.00	8.921862668
69	30	6	15	45	75	105	60	188.4	127.6	127.3	127.45	6	7	6.50	9.608473911
70	35	7	0	35	70	105	52.5	219.8	124.4	124.5	124.45	3	4	3.50	6.181599036

d. Akuisisi Data dengan Menggunakan Panel Geolistrik Multichannel Switch

(Wing Electrode 48) di Lapangan Kampus UIN Alauddin Makassar

Dari Akuisisi data lapangan yang dilakukan di lapangan Kampus UIN Alauddin Makassar diperoleh hasil pengujian kedua berupa data arus dan tegangan sebagai berikut:

Tabel 4. Akuisisi data dengan menggunakan panel geolistrik *multichannel switch*

(wing electrode 48) di lapangan Kampus UIN Alauddin Makassar

No	a	n	A (m)	M (m)	N (m)	B (m)	X (m)	K (m)	I (mA)		I rata (mA)	V (mV)		V rata (mV)	ρ Semu (Ωm)
									I	II		I	II		
1	5	1	1	2	3	4	2.5	31.4	125	125.1	125.05	684	681	682.50	171.3754498
2	5	1	2	3	4	5	3.5	31.4	85.1	90	87.55	471	502	486.50	174.4842947
3	5	1	3	4	5	6	4.5	31.4	121	120.4	120.70	688	688	688.00	178.9826015
4	5	1	4	5	6	7	5.5	31.4	125.5	125.5	125.50	731	734	732.50	183.2709163

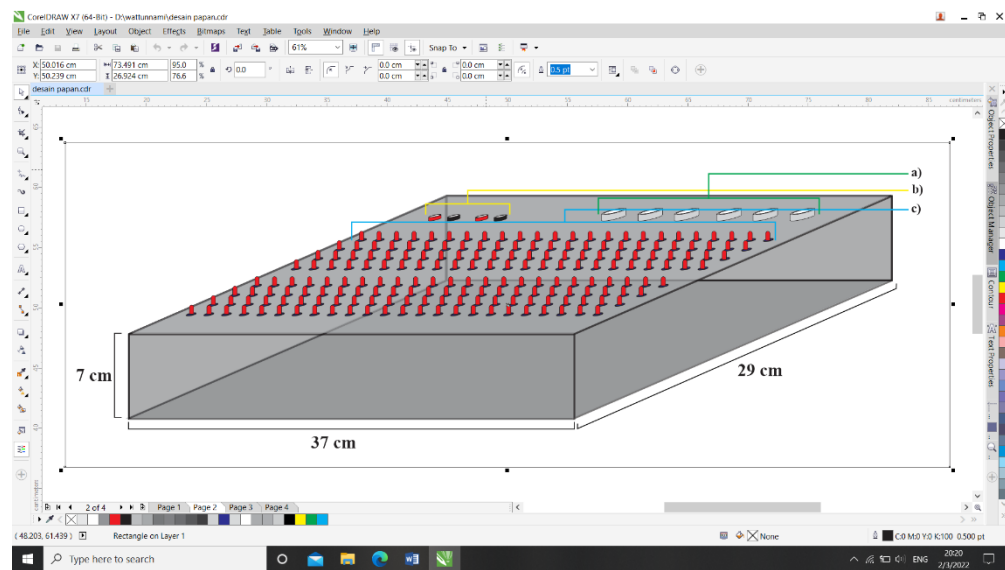
N o	a	n	A (m)	M (m)	N (m)	B (m)	X (m)	K (m)	I (mA)		I rata (mA)	V (mV)		V rata (mV)	ρ Semu (Ωm)
									I	II		I	II		
5	5	1	5	6	7	8	6.5	31.4	128.8	125.8	127.30	696	704	700.00	172.6630008
6	5	1	6	7	8	9	7.5	31.4	124.3	124.3	124.30	694	697	695.50	175.6934835
7	5	1	7	8	9	10	8.5	31.4	124.1	124	124.05	645	651	648.00	164.0241838
8	5	1	8	9	10	11	9.5	31.4	127.9	128.8	128.35	745	750	747.50	182.8710557
9	5	1	9	10	11	12	10.5	31.4	128.3	128.3	128.30	829	834	831.50	203.5003897
10	5	1	10	11	12	13	11.5	31.4	127.9	127.9	127.90	882	887	884.50	217.1485536
11	5	1	11	12	13	14	12.5	31.4	128.5	128.5	128.50	1032	1042	1037.00	253.3992218
12	5	1	12	13	14	15	13.5	31.4	128.9	129	128.95	888	888	888.00	216.2326483
13	5	1	13	14	15	16	14.5	31.4	128.9	129	128.95	1048	1059	1053.50	256.5327646
14	5	1	14	15	16	17	15.5	31.4	128	128.6	128.30	817	843	830.00	203.1332814
15	5	1	15	16	17	18	16.5	31.4	128.9	129.9	129.40	916	918	917.00	222.5177743
16	5	1	16	17	18	19	17.5	31.4	128.8	128.9	128.85	919	937	928.00	226.1482344
17	5	1	17	18	19	20	18.5	31.4	128.7	128.6	128.65	953	950	951.50	232.2355227
18	5	1	18	19	20	21	19.5	31.4	129	129	129.00	1090	1106	1098.00	267.2651163
19	5	1	19	20	21	22	20.5	31.4	128.2	128.2	128.20	1023	1036	1029.50	252.1552262
23	10	2	1	3	5	7	4	62.8	120.7	120.8	120.75	228	219	223.50	116.2385093
24	10	2	2	4	6	8	5	62.8	121.7	122.4	122.05	238	241	239.50	123.2331012
25	10	2	3	5	7	9	6	62.8	125.7	125.7	125.70	249	255	252.00	125.8997613
26	10	2	4	6	8	10	7	62.8	127	126.9	126.95	259	256	257.50	127.3808586
27	10	2	5	7	9	11	8	62.8	124.5	124.9	124.70	239	237	238.00	119.8588613
28	10	2	6	8	10	12	9	62.8	126.3	126.3	126.30	236	238	237.00	117.8432304
29	10	2	7	9	11	13	10	62.8	127	127	127.00	265	270	267.50	132.2755906
30	10	2	8	10	12	14	11	62.8	129.2	129.2	129.20	294	294	294.00	142.9040248
31	10	2	9	11	13	15	12	62.8	128.2	128.2	128.20	238	235	236.50	115.8517941
32	10	2	10	12	14	16	13	62.8	127.6	127.7	127.65	215	216	215.50	106.0195848
33	10	2	11	13	15	17	14	62.8	128.6	128.5	128.55	239	242	240.50	117.4904706
34	10	2	12	14	16	18	15	62.8	129.2	129.3	129.25	243	232	237.50	115.3965184
35	10	2	13	15	17	19	16	62.8	129.3	129.4	129.35	218	221	219.50	106.5682257
36	10	2	14	16	18	20	17	62.8	128.9	129	128.95	193	194	193.50	94.23652579
37	10	2	15	17	19	21	18	62.8	128.9	128.8	128.85	184	185	184.50	89.92316647
38	10	2	16	18	20	22	19	62.8	127.9	128	127.95	172	173	172.50	84.66588511
42	15	3	1	4	7	10	5.5	94.2	124.1	124.1	124.10	92	92	92.00	69.83400483
43	15	3	2	5	8	11	6.5	94.2	120.9	120.9	120.90	90	91	90.50	70.51364764
44	15	3	3	6	9	12	7.5	94.2	127.3	127.3	127.30	87	86	86.50	64.00864101
45	15	3	4	7	10	13	8.5	94.2	128.9	128.8	128.85	83	84	83.50	61.04540163
46	15	3	5	8	11	14	9.5	94.2	125.3	125.3	125.30	86	87	86.50	65.03032721

N o	a	n	A (m)	M (m)	N (m)	B (m)	X (m)	K (m)	I (mA)		I rata (mA)	V (mV)		V rata (mV)	ρ Semu (Ωm)
									I	II		I	II		
47	15	3	6	9	12	15	10.5	94.2	125.9	125.8	125.85	76	76	76.00	56.88676996
48	15	3	7	10	13	16	11.5	94.2	126.4	126.3	126.35	74	68	71.00	52.93391373
49	15	3	8	11	14	17	12.5	94.2	129.1	129.1	129.10	71	72	71.50	52.17118513
50	15	3	9	12	15	18	13.5	94.2	128.5	128.6	128.55	65	64	64.50	47.26487748
51	15	3	10	13	16	19	14.5	94.2	128	127.9	127.95	67	66	66.50	48.95896835
52	15	3	11	14	17	20	15.5	94.2	128.8	128.8	128.80	73	70	71.50	52.29270186
53	15	3	12	15	18	21	16.5	94.2	129.2	129.2	129.20	59	53	56.00	40.82972136
54	15	3	13	16	19	22	17.5	94.2	128.5	128.5	128.50	47	48	47.50	34.82101167
58	20	4	1	5	9	13	7	125.6	127.1	127.7	127.40	35	37	36.00	35.49136578
59	20	4	2	6	10	14	8	125.6	127.8	121.4	124.60	31	31	31.00	31.24879615
60	20	4	3	7	11	15	9	125.6	126.6	126.8	126.70	30	29	29.50	29.24388319
61	20	4	4	8	12	16	10	125.6	128.5	128.4	128.45	29	30	29.50	28.84546516
62	20	4	5	9	13	17	11	125.6	125	124.8	124.90	19	20	19.50	19.60928743
63	20	4	6	10	14	18	12	125.6	126.4	126.3	126.35	25	25	25.00	24.85160269
64	20	4	7	11	15	19	13	125.6	126.9	126.9	126.90	26	26	26.00	25.73364854
65	20	4	8	12	16	20	14	125.6	129.4	129.4	129.40	25	25	25.00	24.26584235
66	20	4	9	13	17	21	15	125.6	128.3	128.3	128.30	23	24	23.50	23.00545596
67	20	4	10	14	18	22	16	125.6	126.6	126.7	126.65	21	22	21.50	21.32175286
71	25	5	1	6	11	16	8.5	157	126.6	121.5	124.05	12	11	11.50	14.55461507
72	25	5	2	7	12	17	9.5	157	121.4	121.2	121.30	11	9	10.00	12.94311624
73	25	5	3	8	13	18	10.5	157	127.3	127.3	127.30	11	11	11.00	13.56637863
74	25	5	4	9	14	19	11.5	157	128.7	128.7	128.70	12	11	11.50	14.02874903
75	25	5	5	10	15	20	12.5	157	125.4	125.2	125.30	10	11	10.50	13.15642458
76	25	5	6	11	16	21	13.5	157	125.9	125.7	125.80	11	10	10.50	13.10413355
77	25	5	7	12	17	22	14.5	157	124.8	124.7	124.75	9	10	9.50	11.95591182
81	30	6	1	7	13	19	10	188.4	127	127.1	127.05	4	4	4.00	5.931523022
82	30	6	2	8	14	20	11	188.4	121.9	121	121.45	5	5	5.00	7.756278304
83	30	6	3	9	15	21	12	188.4	126.9	127	126.95	6	7	6.50	9.646317448
84	30	6	4	10	16	22	13	188.4	127.6	127.6	127.60	7	6	6.50	9.597178683
88	35	7	1	8	15	22	11.5	219.8	125.1	125.1	125.10	3	3	3.00	5.270983213



UNIVERSITAS ISLAM NEGERI
ALAUDDIN
MAKASSAR

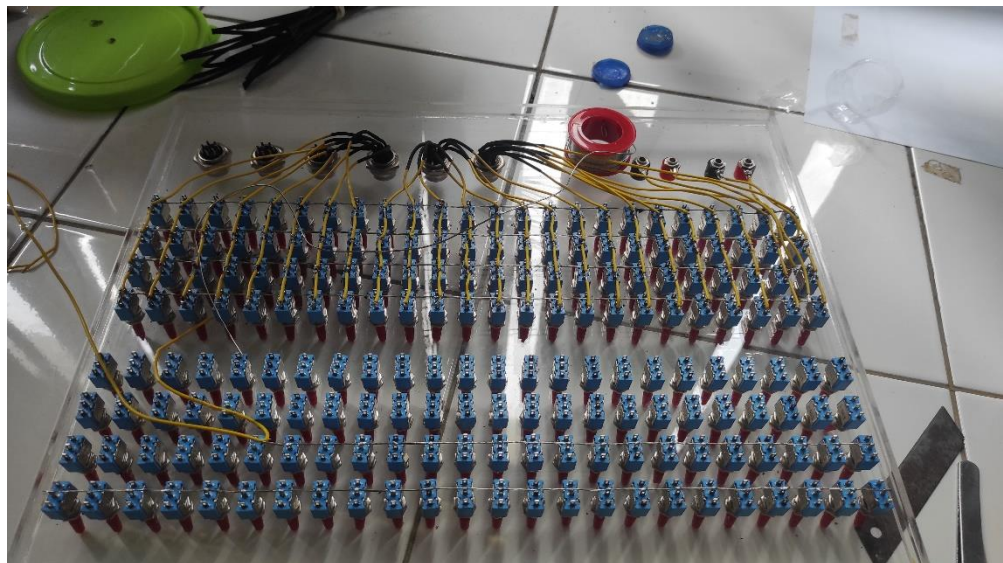
a. Pembuatan desain



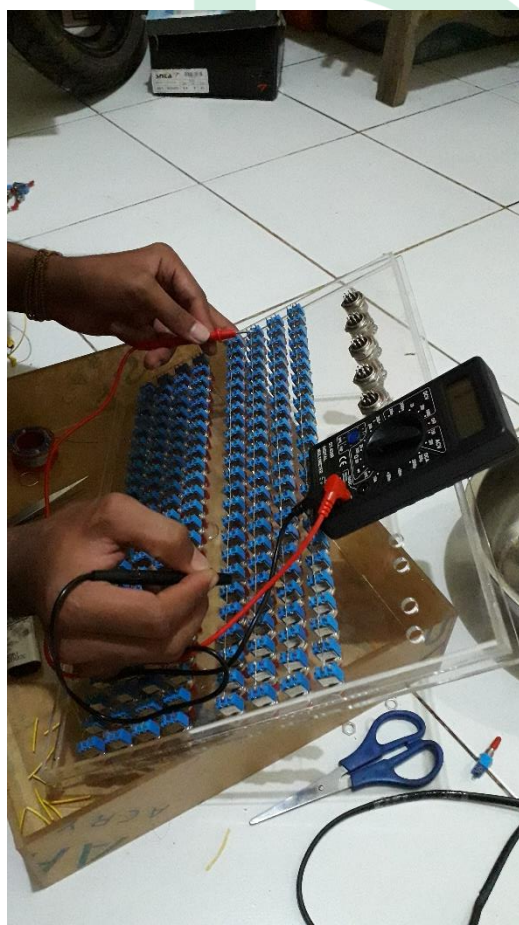
b. Pemasangan saklar *Toggle*, Connector *CB* dan *Socket Banana*



c. Penyambungan saklar *Toggle*, Connector *CB* dan *Socket Banana*



d. Pengetesan dengan multimeter



e. Perakitan kabel *multichannel*



f. Pengujian pertama.



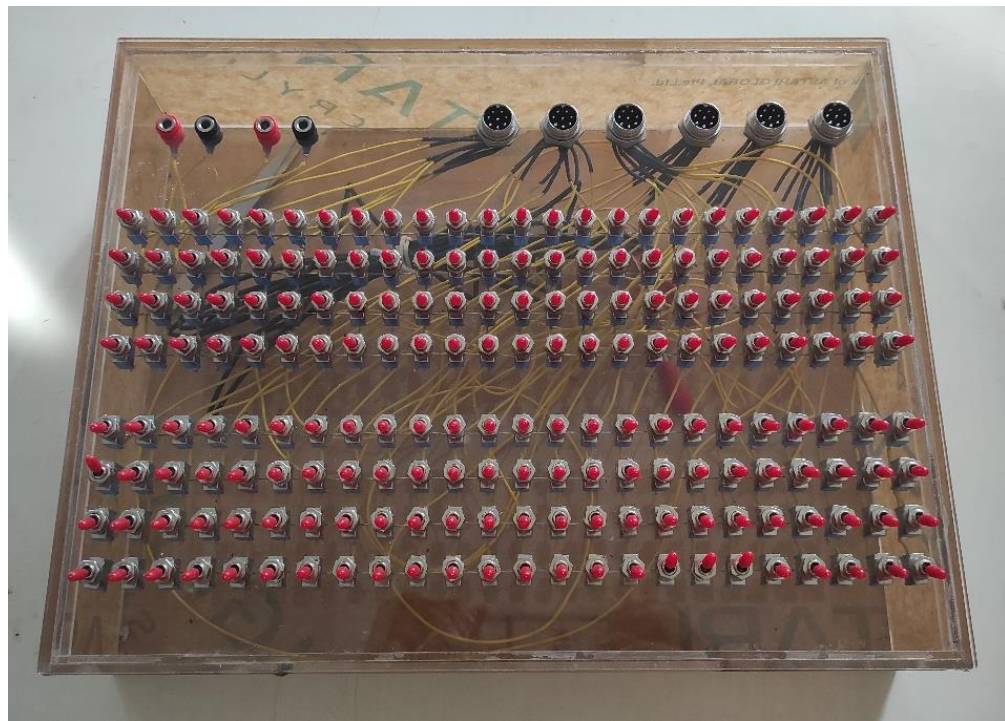
- g. Pengetesan setelah reparasi panel geolistrik *multichannel switch (wing electrode 48)*



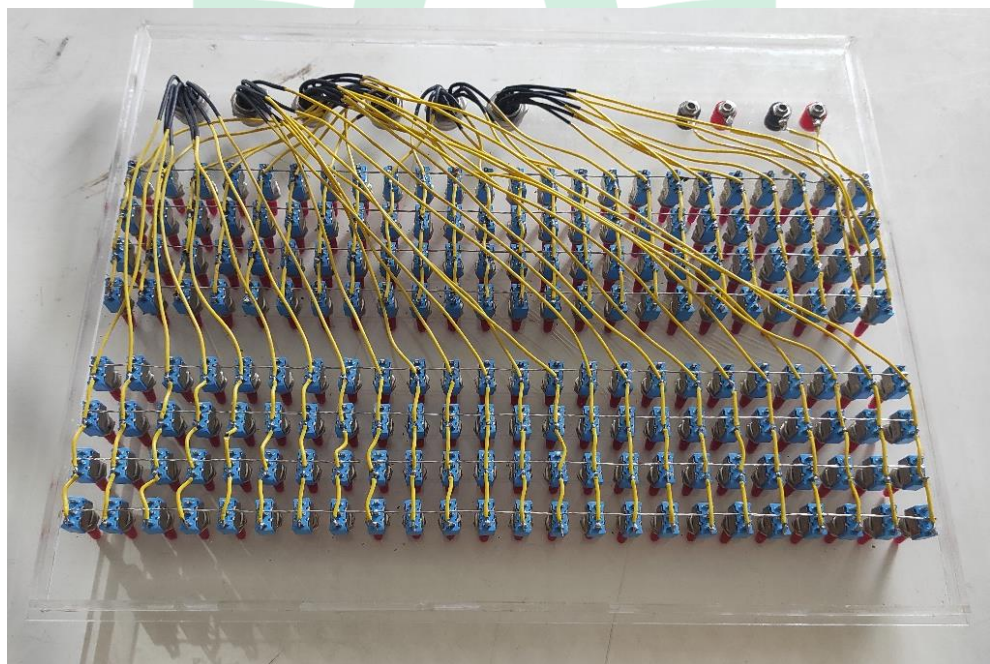
- h. Pengujian kedua



i. Tampak atas



j. Tampak rangkaian pada bagian dalam kotak



k. Kabel *multichannel* dan capit buaya





a. Alat geolistrik model twin probe (G-Sound) GI 4200



b. Kabel arus dan tegangan



c. Palu dan Elektroda



d. Kompas geologi dan GPS



UNIVERSITAS ISLAM NEGERI
ALAUDDIN
MAKASSAR